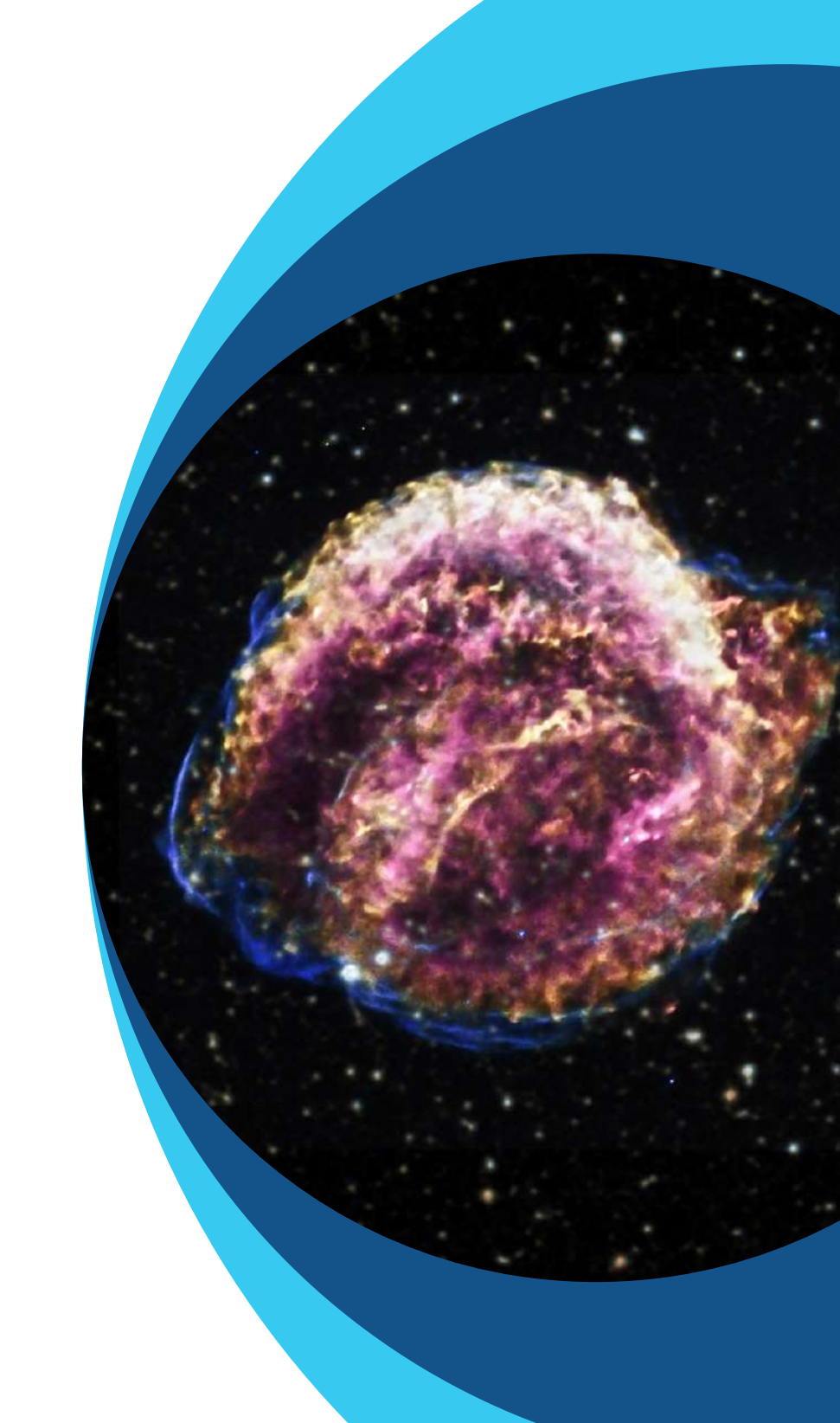
Oral de stage du M2 PSA

# CARACTÉRISATION MULTIDIMENSIONNELLE DES VESTIGES DE SUPERNOVA EN RAYONS X

**Direction: Fabio Acero** 

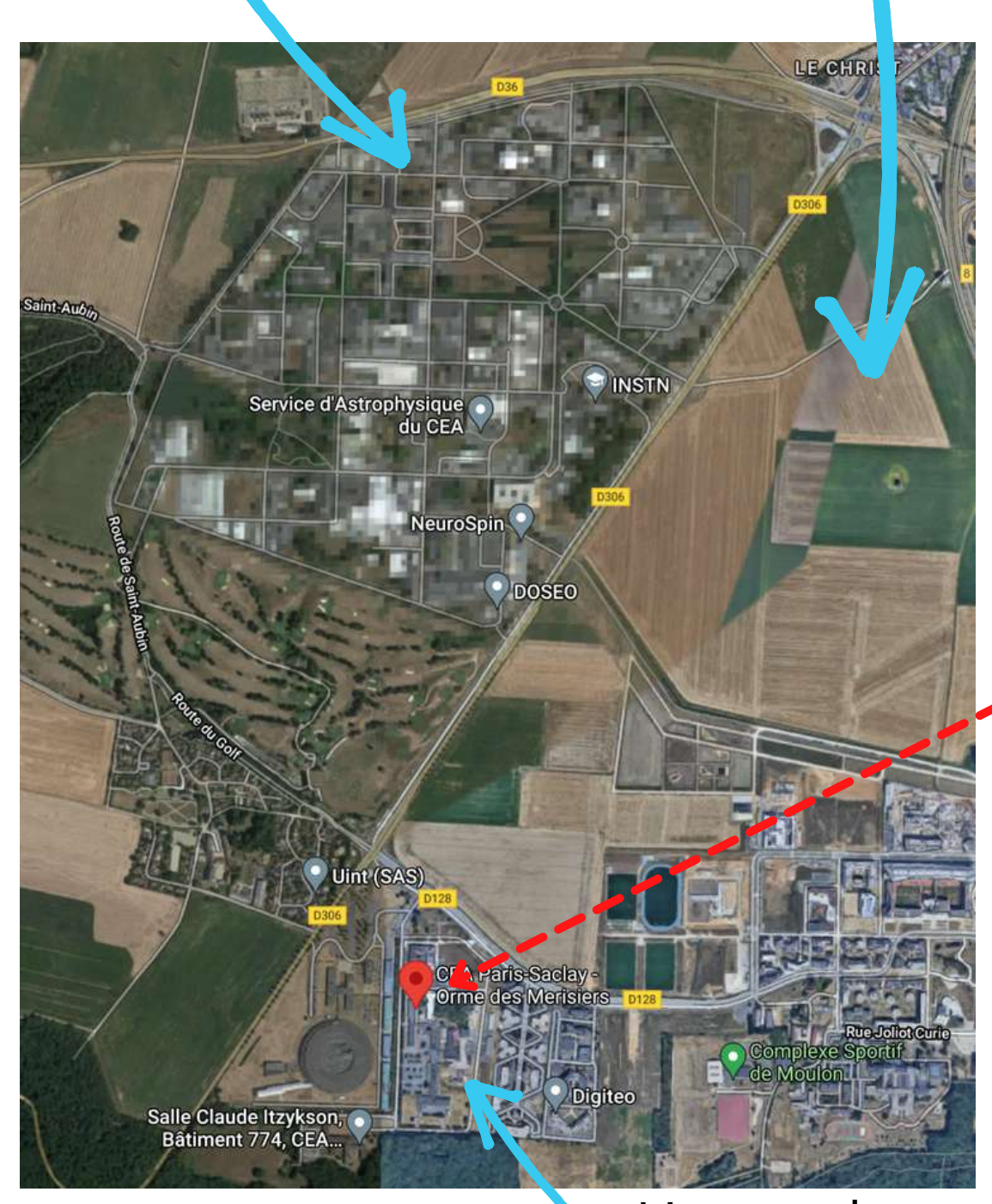
Leïla Godinaud



## Contexte L'astrophysique au CEA Saclay

Zone principale du CEA Saclay

Champs du plateau de Saclay



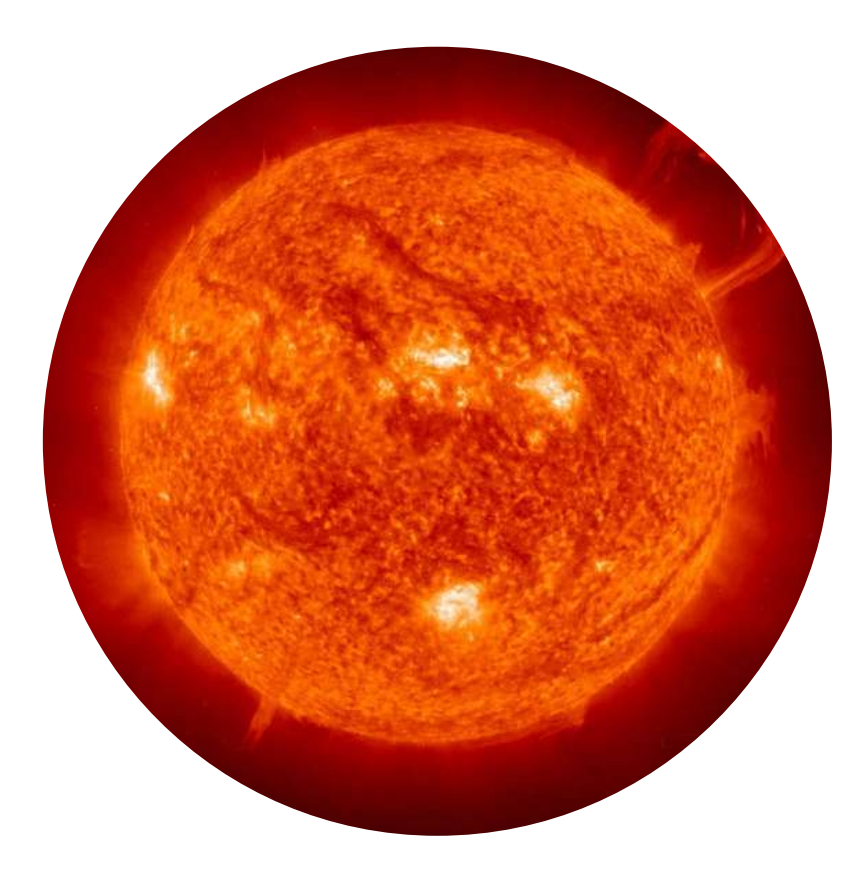
L'orme des merisiers



- CEA : Commissariat à l'énergie atomique et aux énergies alternatives
- IRFU: L'Institut de Recherche sur les lois fondamentales de l'Univers
- DAp : Département d'Astrophysique
- LEPCHE : Laboratoire d'Étude des Phénomènes Cosmiques de Haute Énergie

## Contexte La mort d'une étoile

Progéniteur (étoile en fin de vie)



- Composé de carbone et oxygène
- Vents stellaires
   enrichissant le milieu
   circumstellaire (CSM)

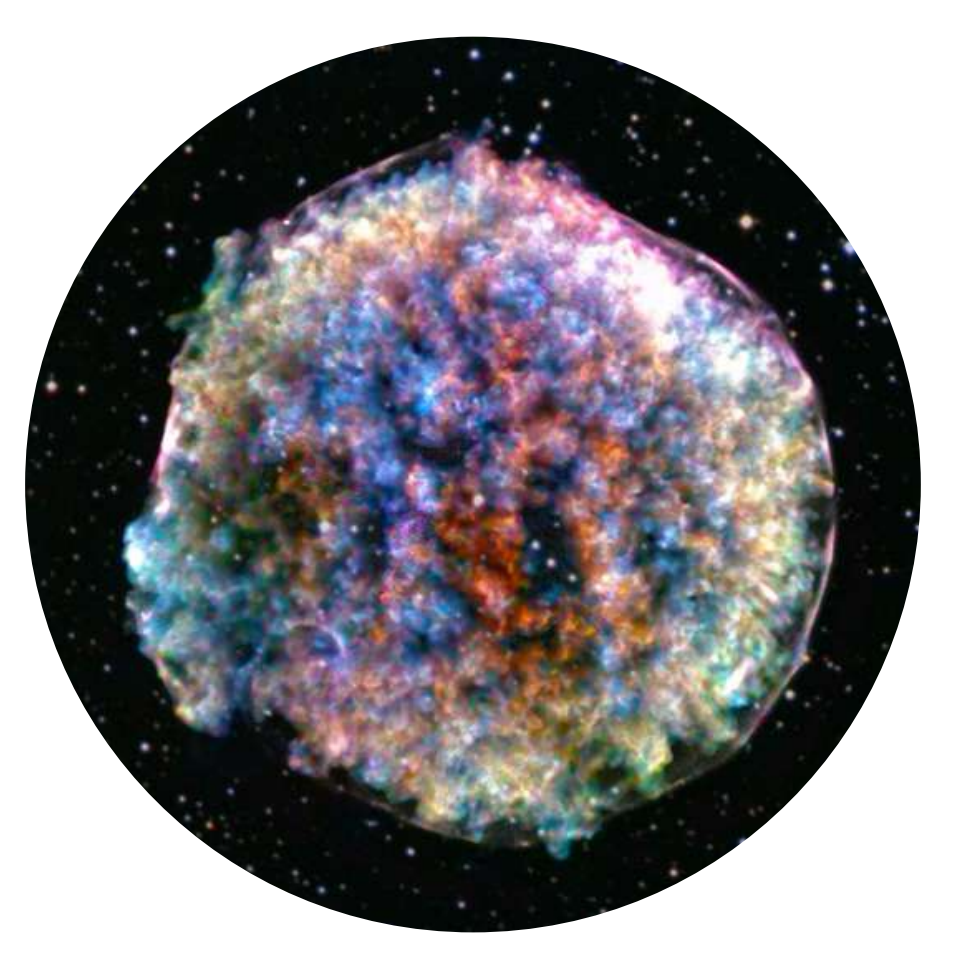




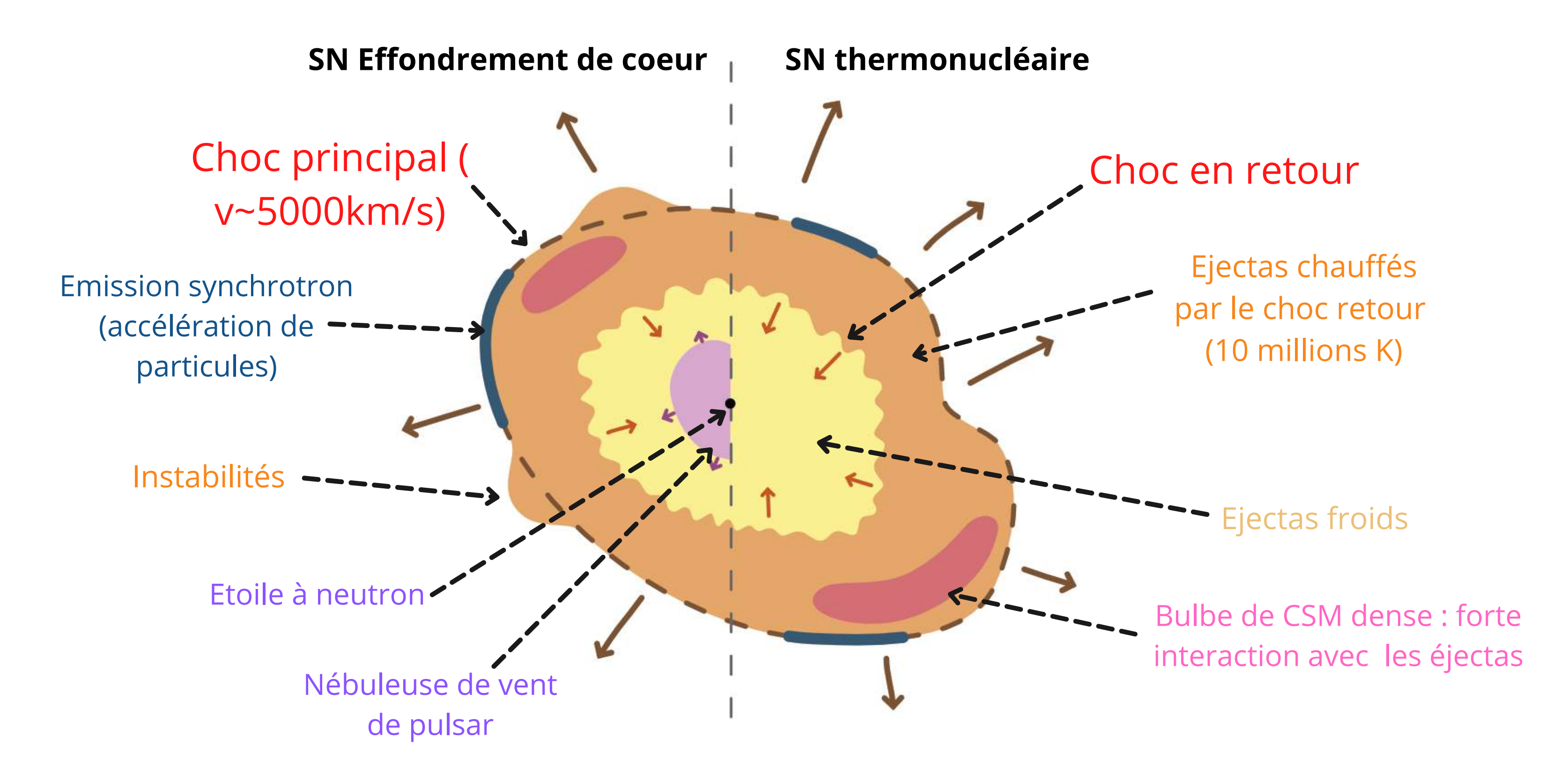
Expansion des ejectas

- Thermonucléaire ou à effondrement de coeur
- Nucléosynthèse lors de l'explosion
- Assymétrie de l'explosion

Rémanent de supernova

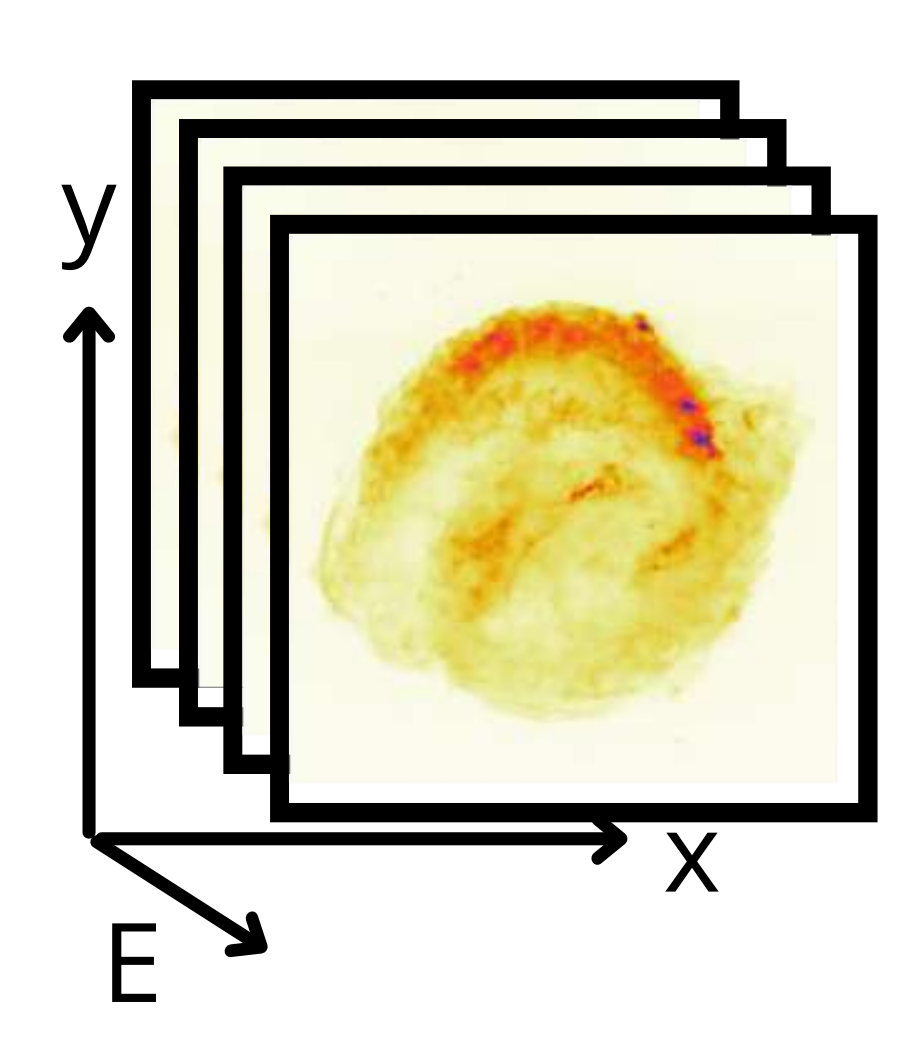


## Contexte Les rémanents de Supernovae



## Contexte

L'astrophysique en rayon X



La position, énergie et instant d'arrivé mesurés pour chaque photon.

Les télescopes spectro-imageurs : des cubes de données

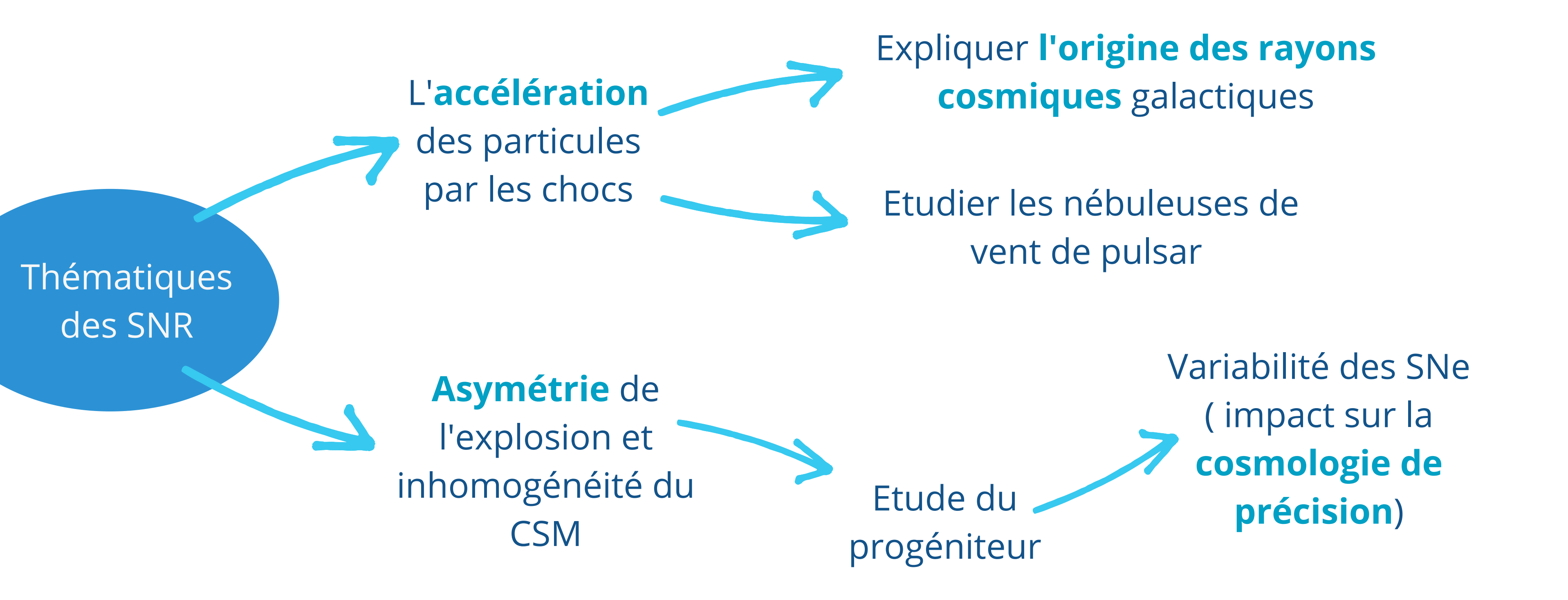
- Chandra (depuis 1999)
- XMM-Newton (depuis 1999)
- Athena XIFU (2030)

Révolution à venir pour les caméras en rayons X

- Traditionnellement CCD
   (conversion photon en électron)
- Bientôt utilisation de détecteurs calorimétriques (mesure hausse température au passage d'un photon)

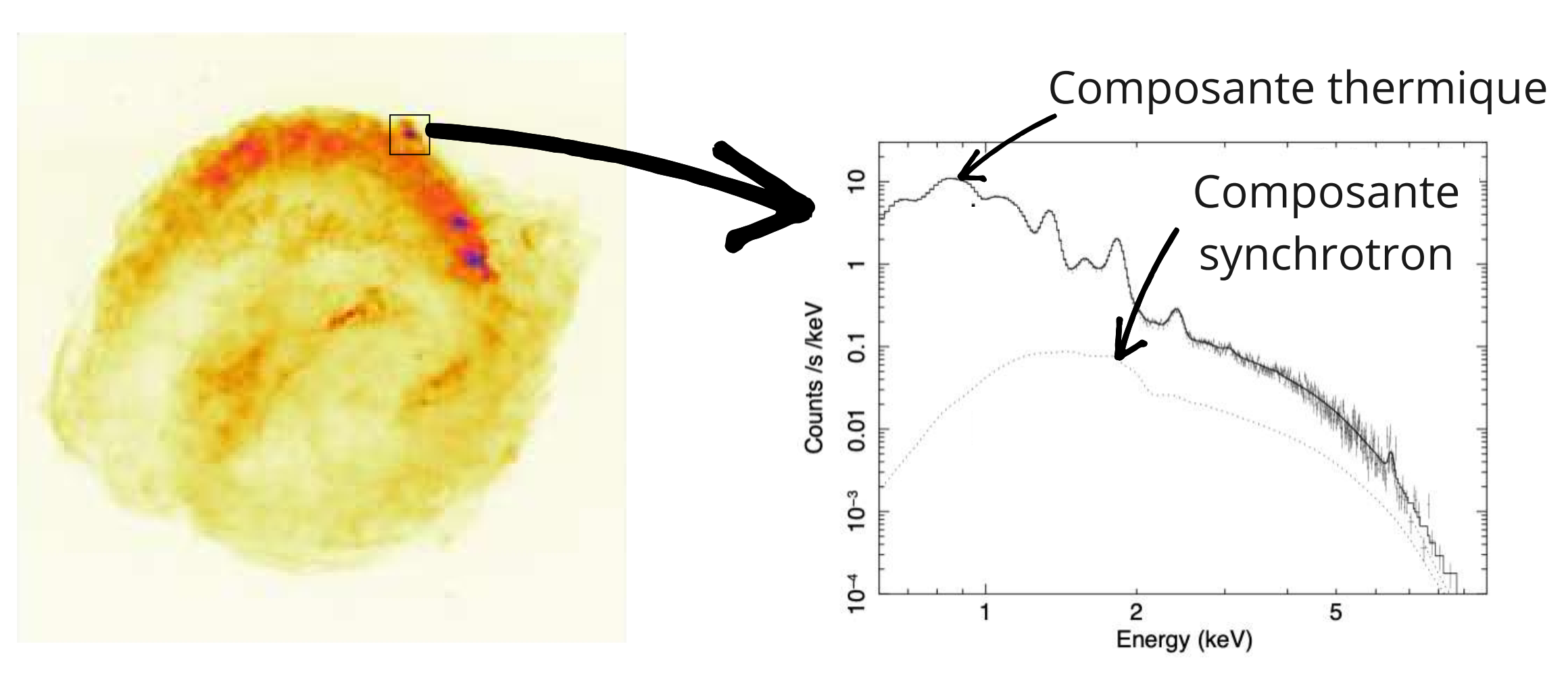


## Contexte Les enjeux scientifiques



## Contexte Les méthodes d'analyse traditionnelles

#### En X mesure pour chaque photon de sa position et énergie



1) Définir à l'oeil des régions d'intérêt

2) Extraire et modéliser le spectre associé

#### Limites:

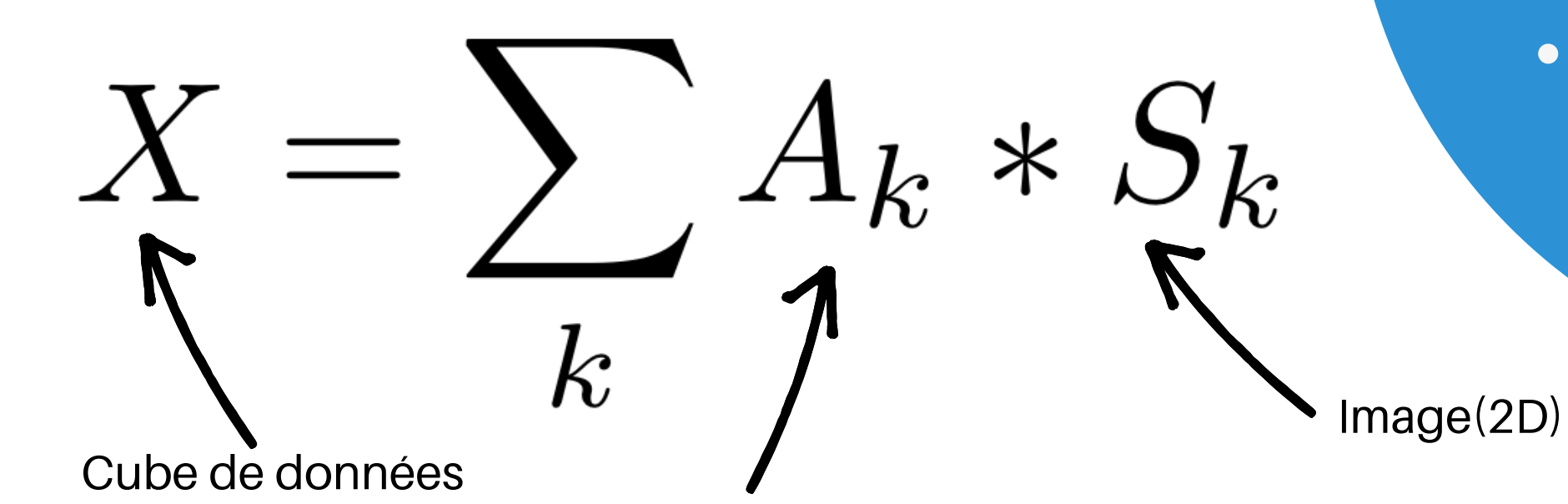
- Composantes mélangées et séparation spectrale uniquement
- Dégénérescence modèle
   à haute énergie entre
   composantes

## Contexte

## General Morphological Composent Analysis (GMCA)

(3D)

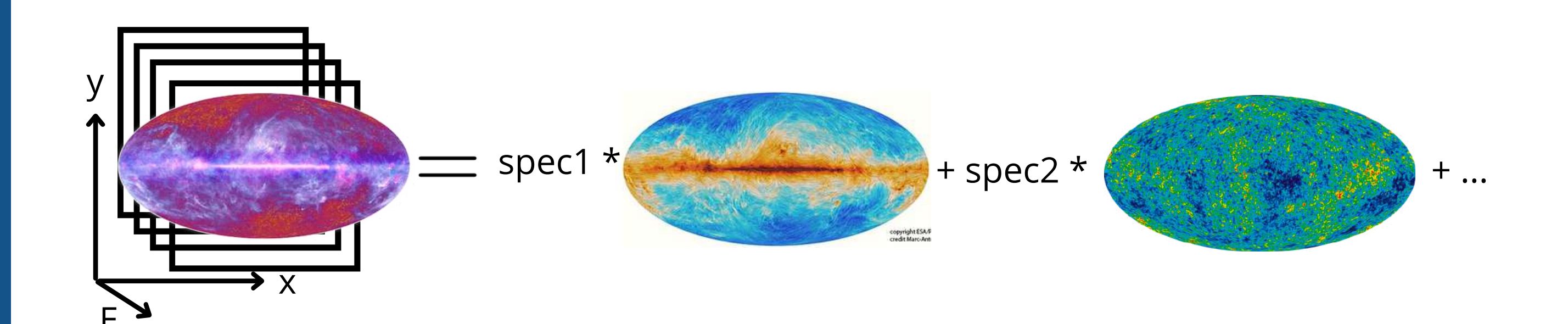
- Exploiter pleinement la nature 3D des données
- Blind source
   separation : analyse
   non supervisée
- Initialement utilisée pour données de Planck
- Développé au CEA
   par des experts
   d'analyse de données



Spectre (1D)

#### poissonian GMCA (pGMCA):

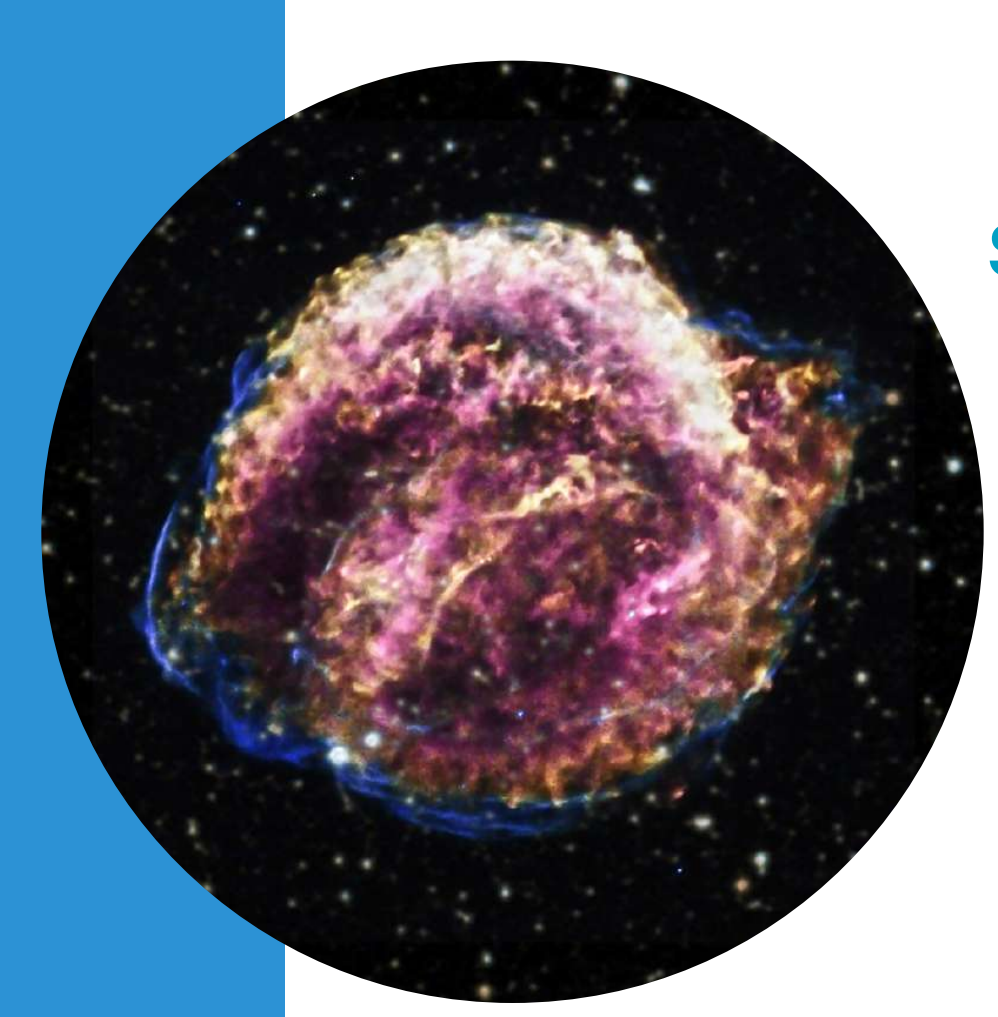
- bruit adapté aux données
   X (pas gaussien)
- meilleure reconstruction des composantes



## Objectif du stage

## DEMONTRER LE POTENTIEL SCIENTIFIQUE DE GMCA.

Avec la thématique de l'accélération de particules dans les jeunes rémanents observés dans le domaine des rayons X.



#### **SNR** Kepler

• âge: 417 ans

• distance: 5 kpc

• type SN: Thermonucléaire

• 570x570 pixels

• 300 bins énergie (0.5 à 10keV)



• âge:34 ans

• distance: 50 kpc

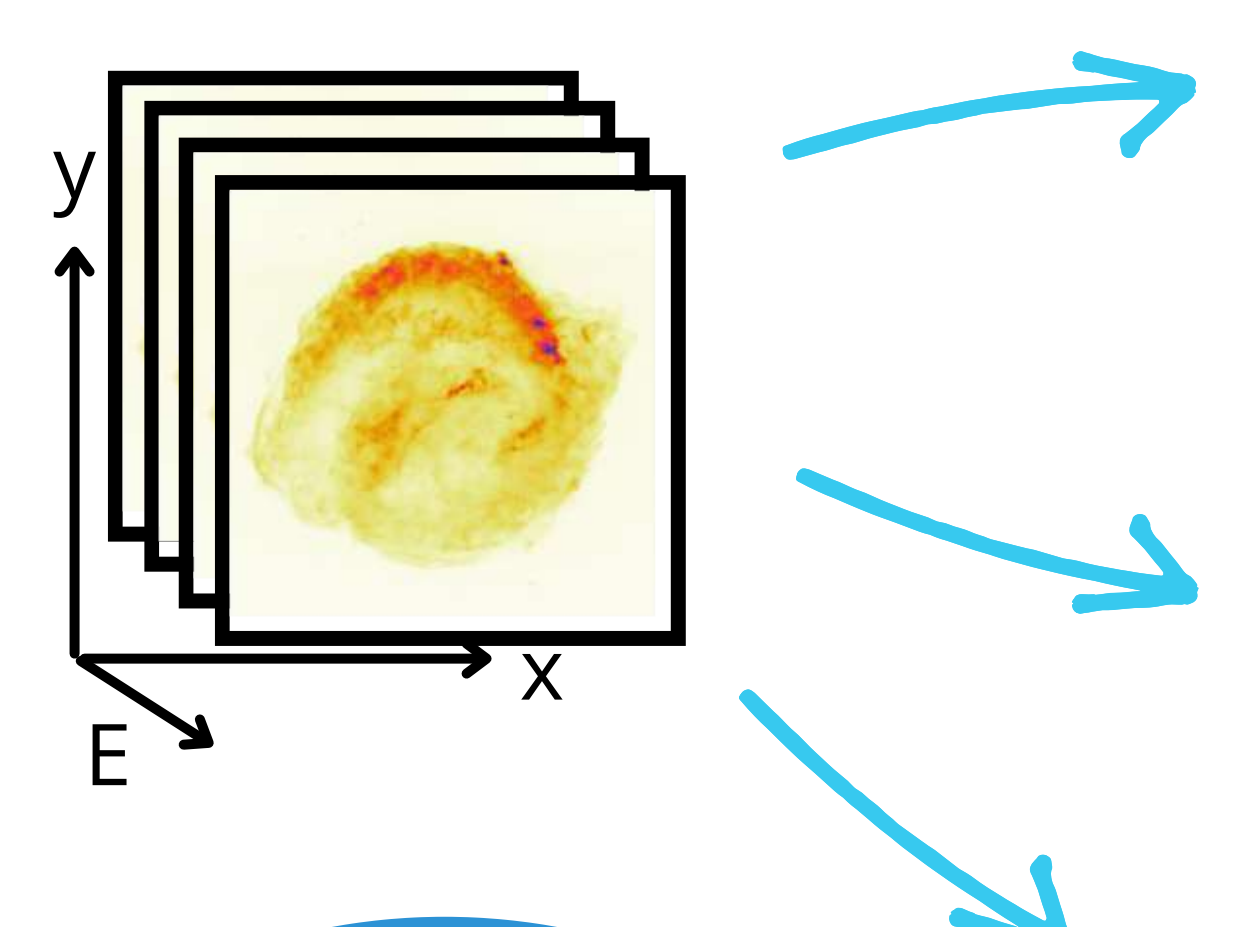
• type SN: Core Collapse

• 20x20 pixels

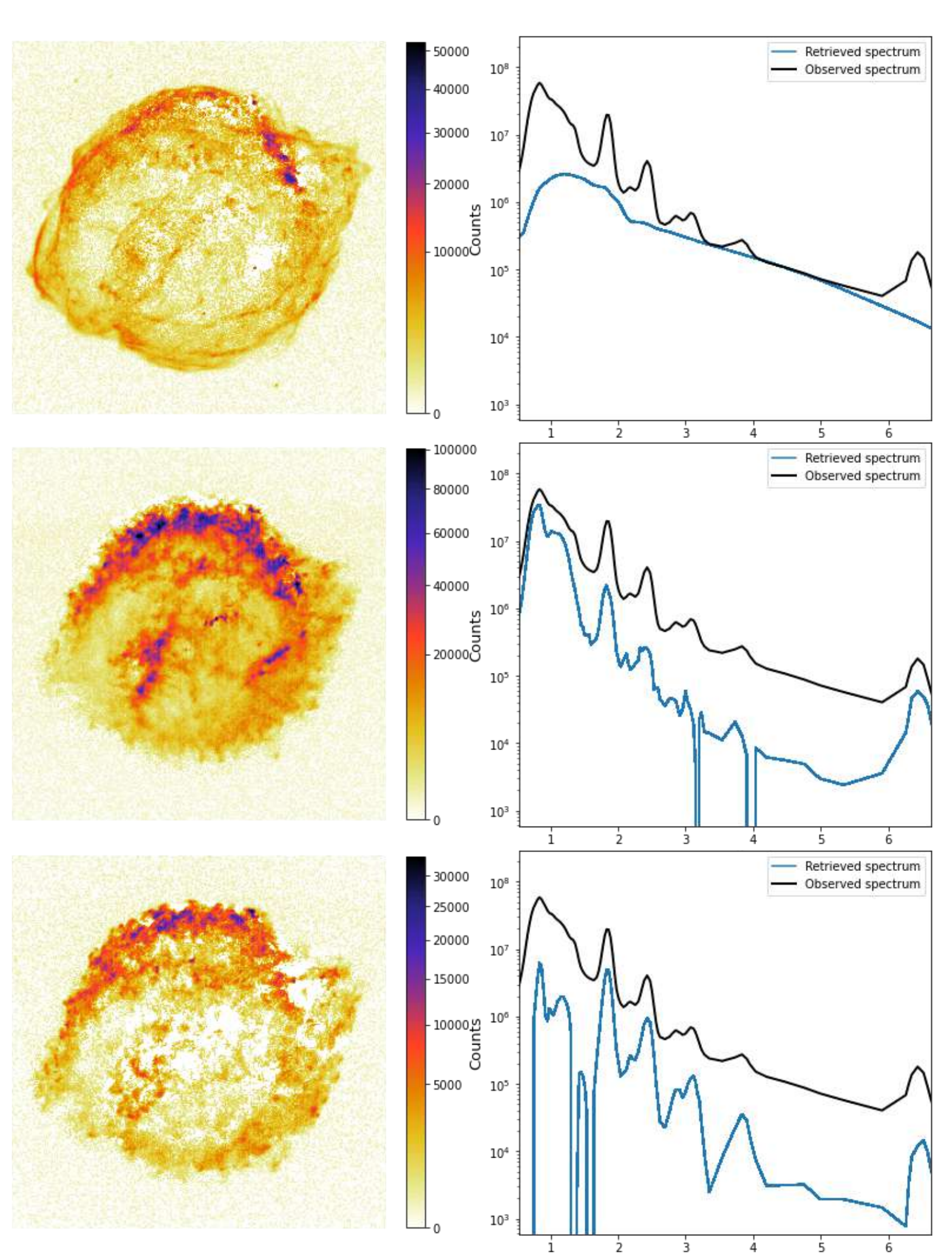
• 60 bins énergie (0.5 à 7keV)

## Stage

Application GMCA: Kepler



- Aucun a priori physique (Possibilité initialisation)
- interprétation parfois difficile



Energy (keV)

#### Synchrotron

- spectre : power law
- image : filaments

#### Ejecta Fer:

- o spectre: raie Fe K et L
- image : structure moutonneuse

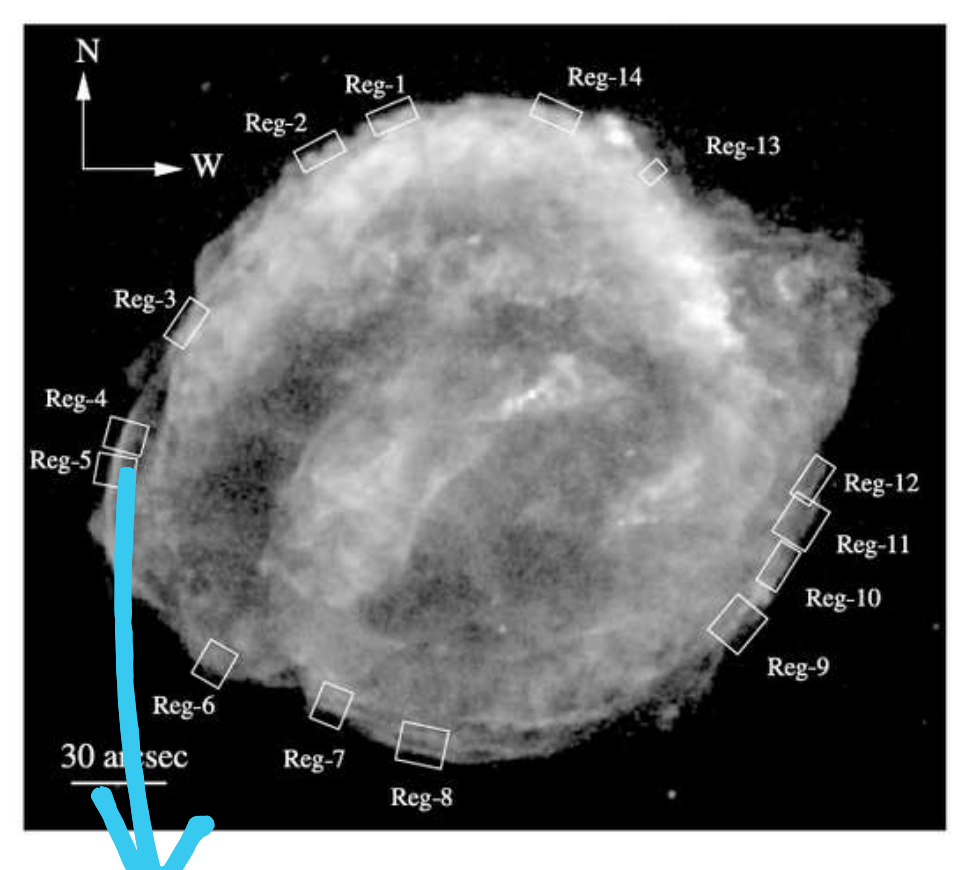
#### Autres éjecta (Si, S, Ar, Ca):

- spectre : raies
- image : structure moutonneuse

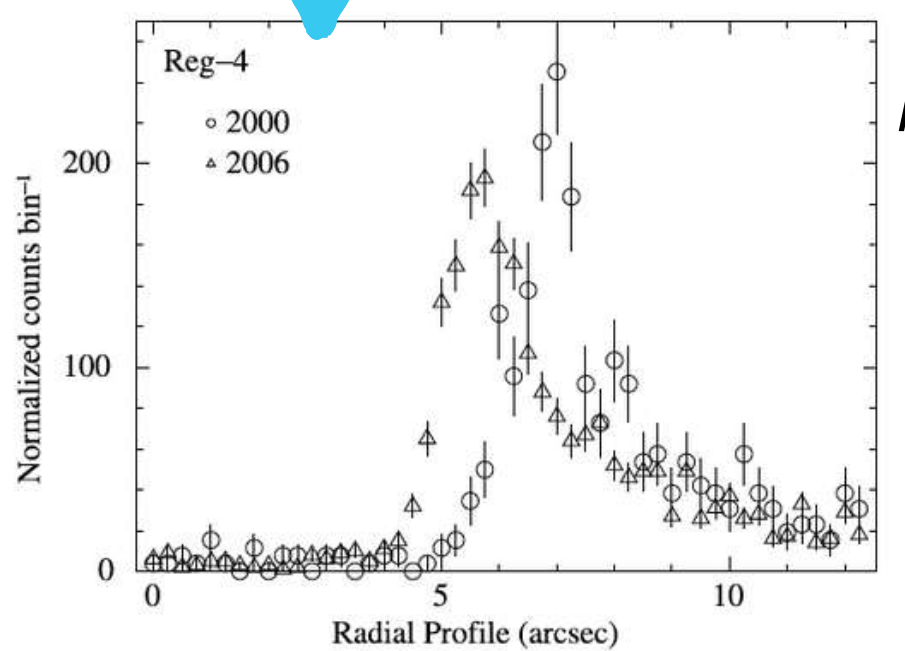
Oral stage M2 - page 10

## Stage SNR Kepler

• *State of art*: Katsuda et al, 2008



- Image totale du rémanent vu entre 0.5 et 8keV
- aucune séparation entre synchrotron et thermique

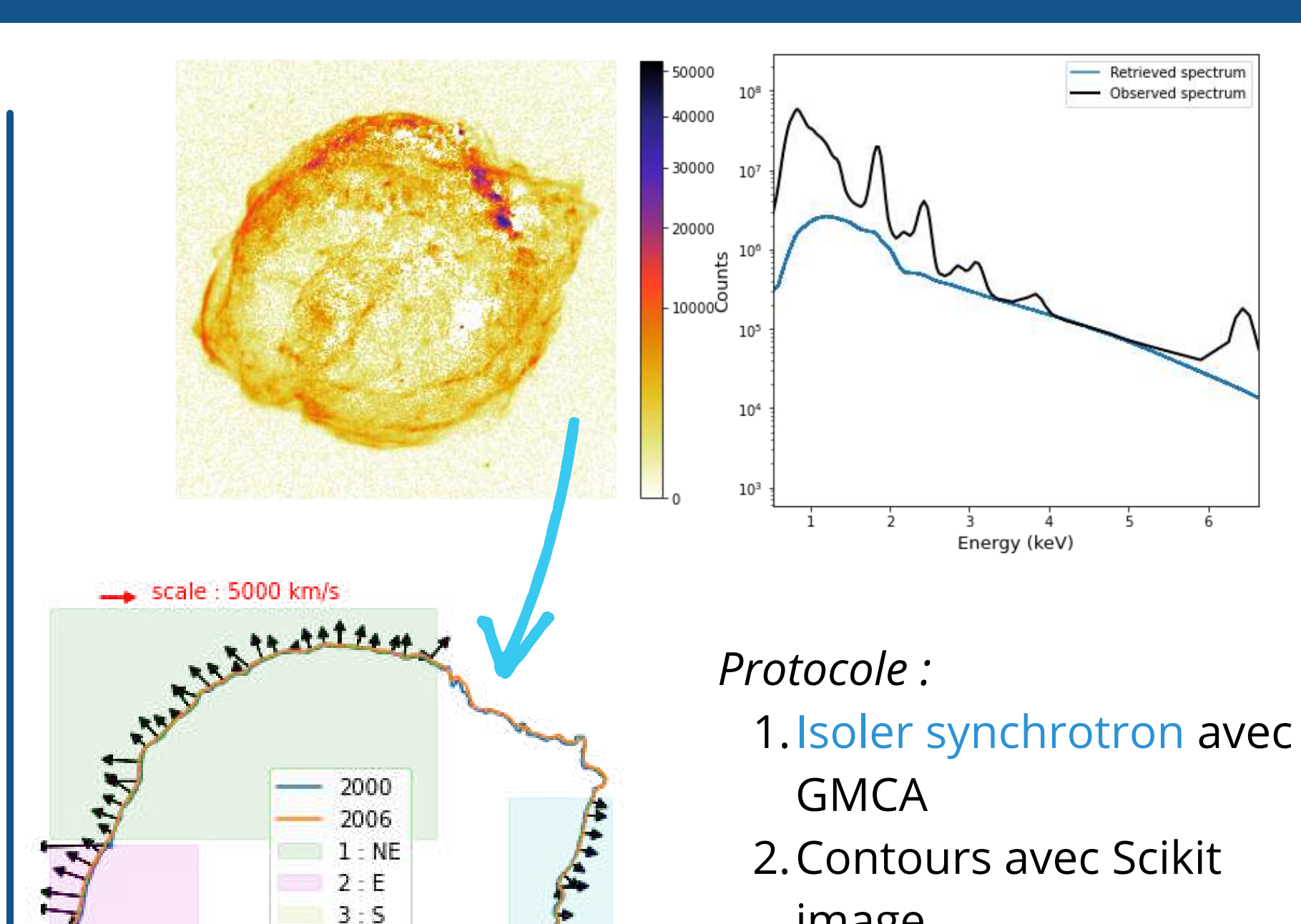


#### Protocole:

- 1. Définition de zones
- 2. Extraction du profil radial dans chaque région
- 3. Comparaison et mesure du déplacement

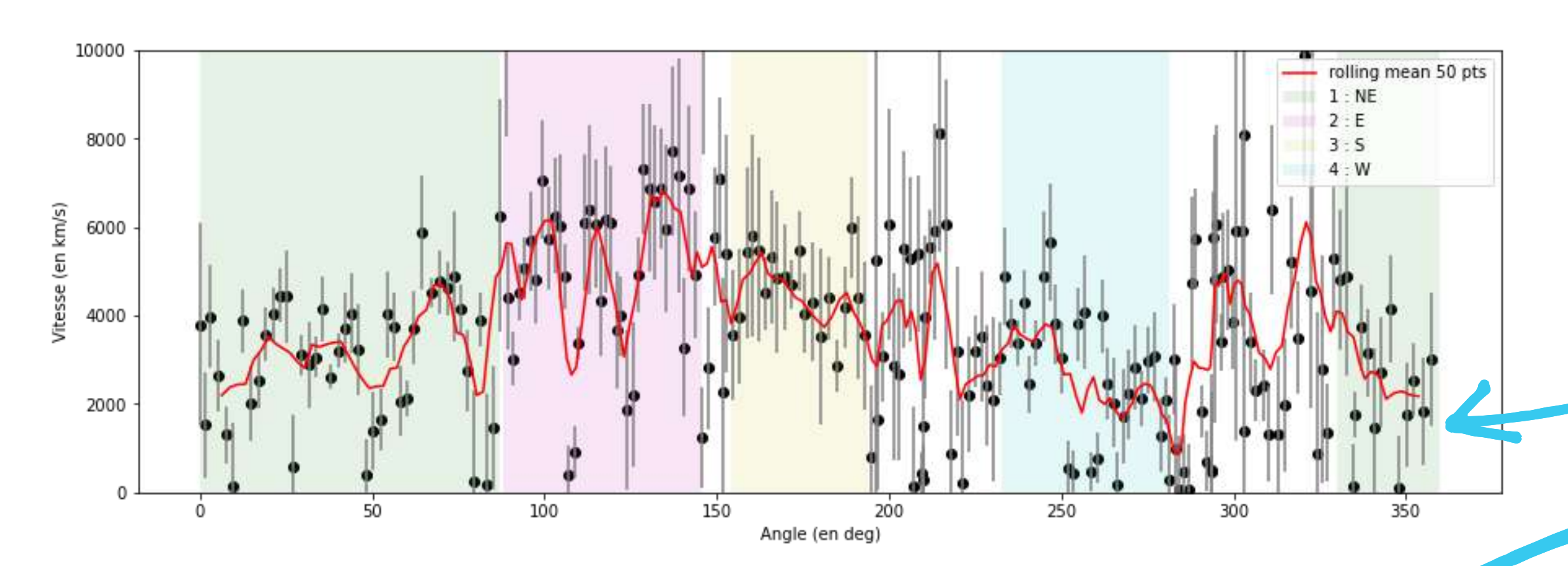
#### Enjeux:

- 1) Mécanisme d'accélération de particules
- 2) Asymètrie de l'explosion et du CSM



image

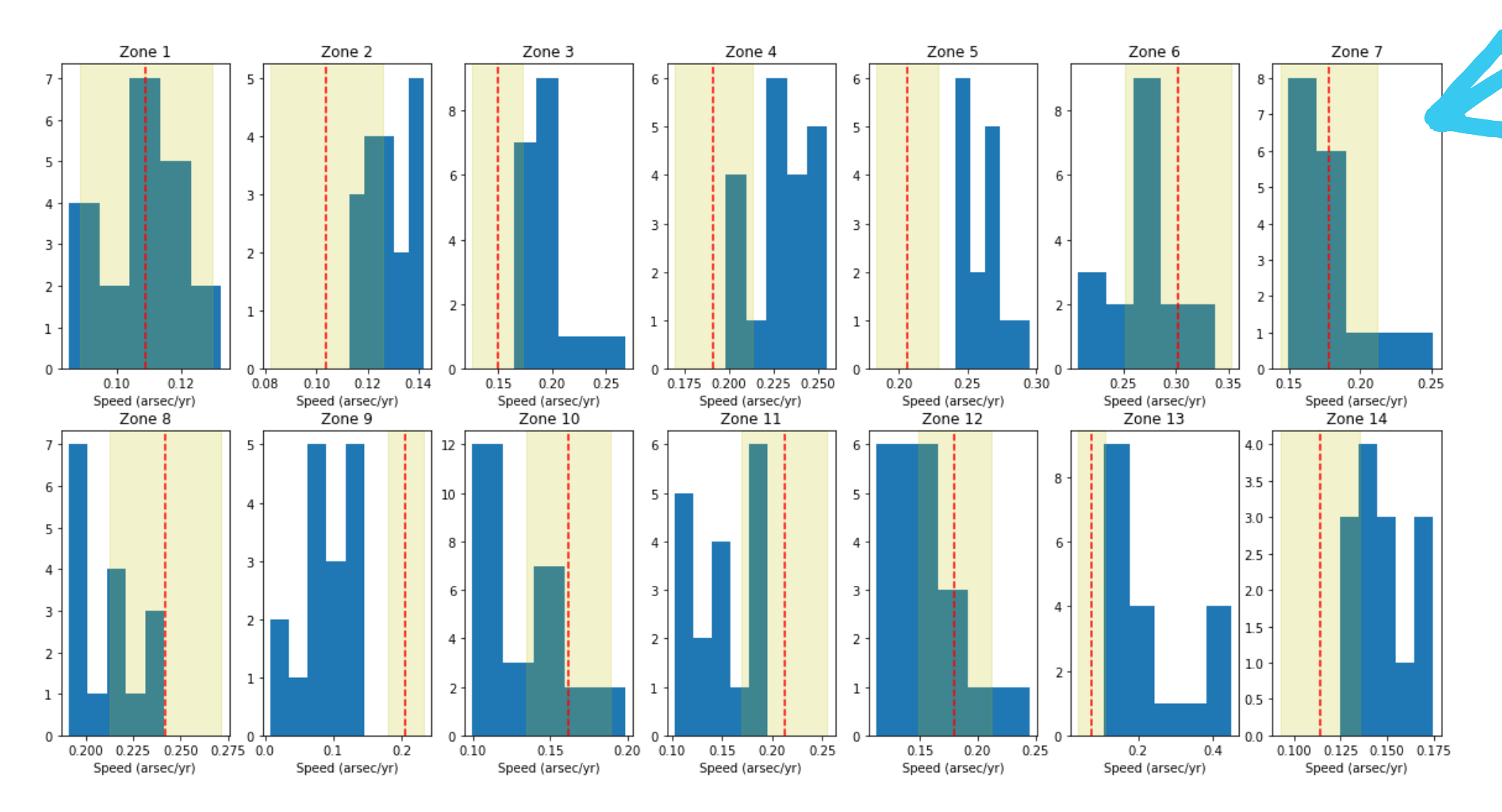
3. Champ de vitesse



### Stage SNR Kepler

Champ de vitesse obtenu enfonction de l'angle

Comparaison avec les mesures de Katsuda et al



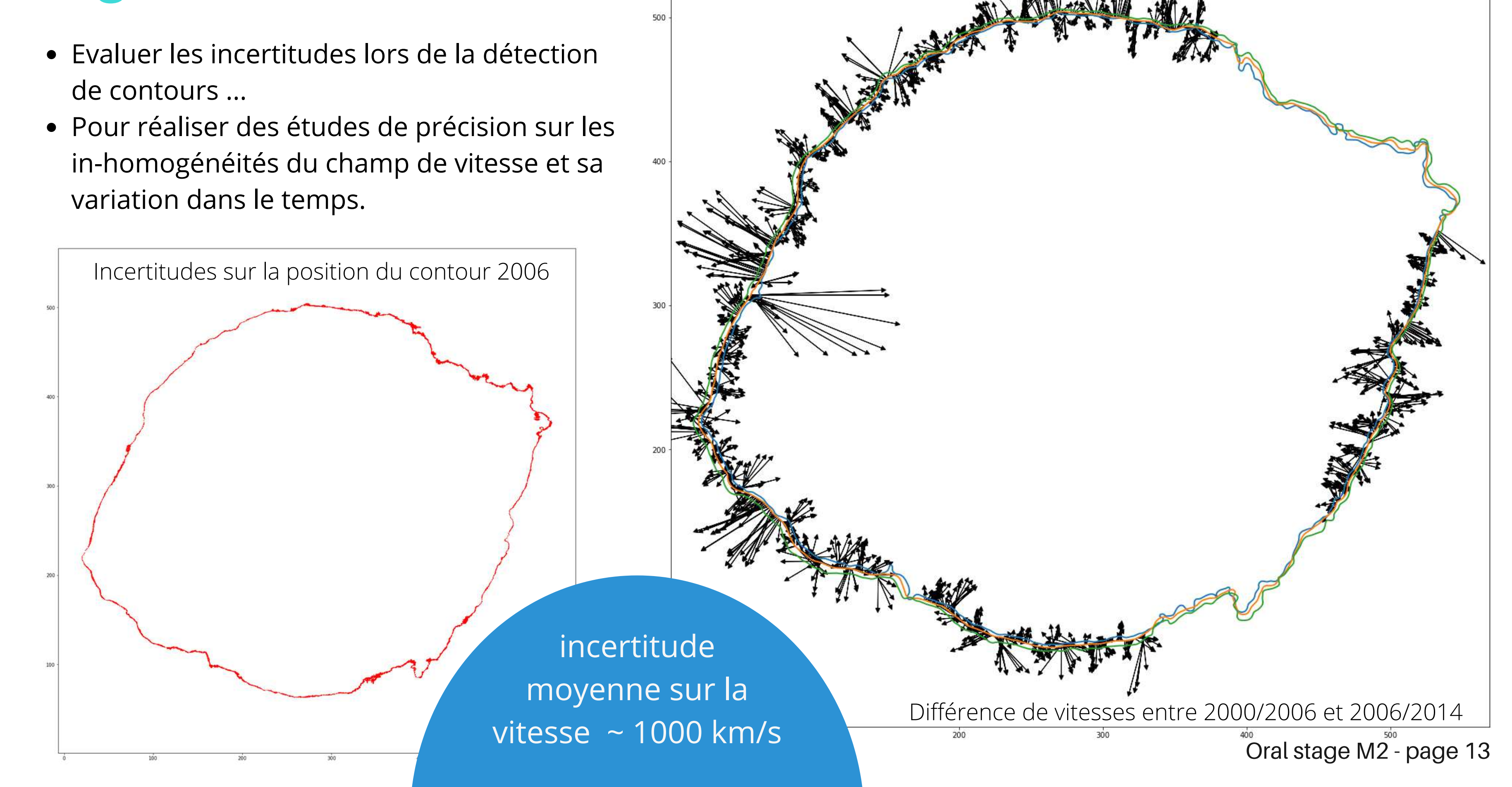
#### Limites Katsuda et al:

- **Pas de séparation** entre émission synchroton et thermique
- Nombre limité de région

#### Limites protocole du stage :

- 1. Erreur de détection des contours à évaluer
- 2. **Améliorer l'isolement** du synchrotron

## Stage SNR Kepler



→ scale : 1000 km/s

## Stage SN 87a

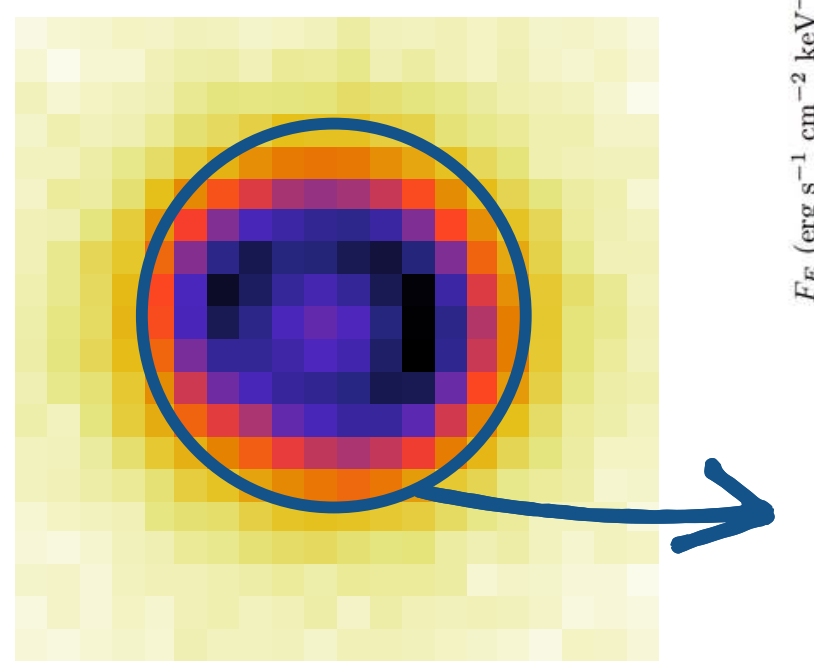
#### Enjeux:

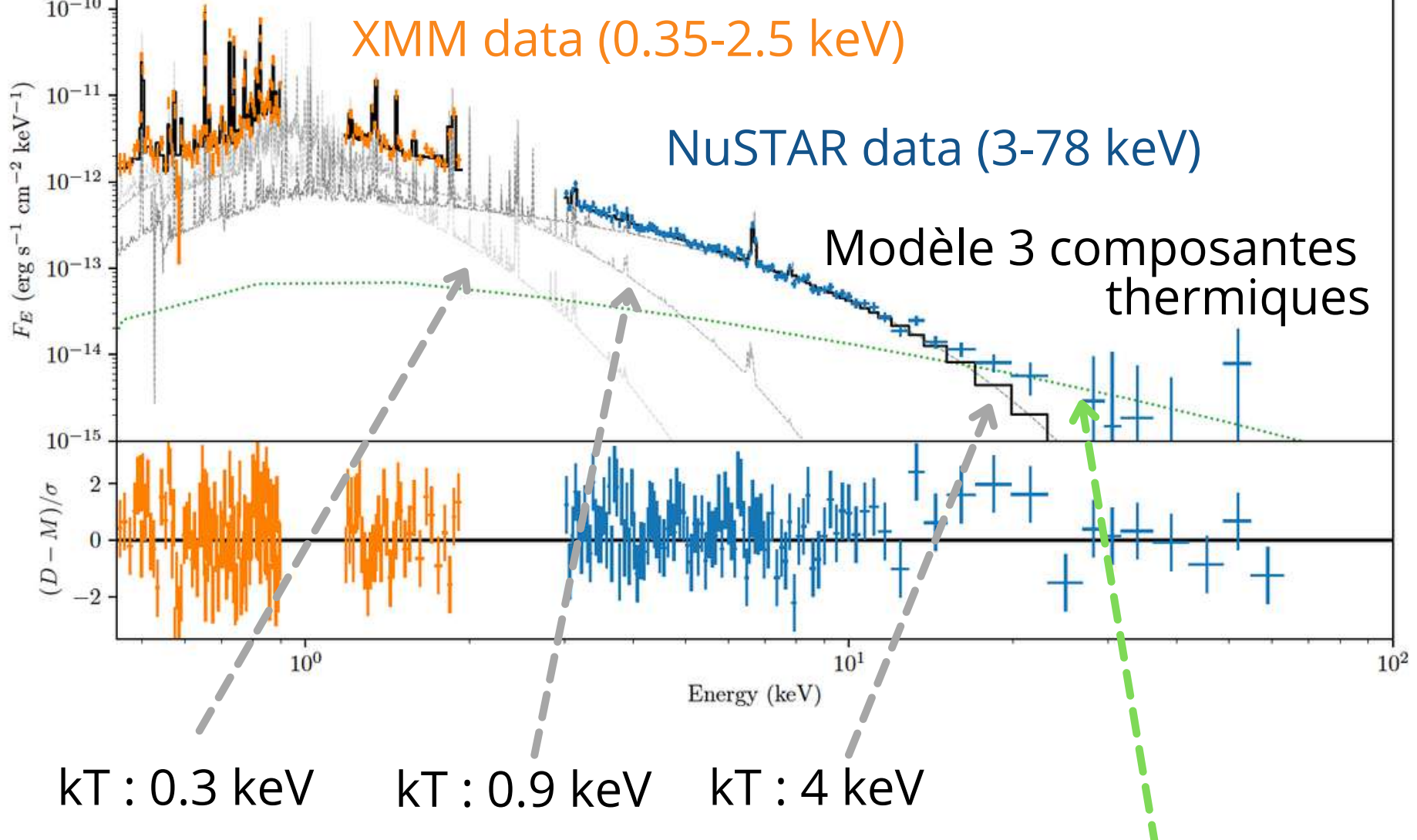
Une composante "dure" est mesurée dans le spectre de SN87a, est-ce du à un Pulsar Wind Nebula ou à l'accélération des particules ?

• State of art: Alp et al, 2021 (opposition à Greco et al, 2021)

#### *Protocole:*

- 1. Définition du rémanent comme zone d'intérêt
- 2. Extraction du spectre total
- 3. Modélisation du spectre avec plusieurs composantes thermiques





#### Conclusion:

- Pour Greco et al : une composante non thermique est nécéssaire
- Pour Alp et al: trois composantes thermiques suffisent

Composante supplémentaire synchrotron, statistiquement non nécéssaire au fit

Avec GMCA : idéalement obtention d'un spectre de PWN avec émission au coeur dans l'image associée

## Stage SN 87a

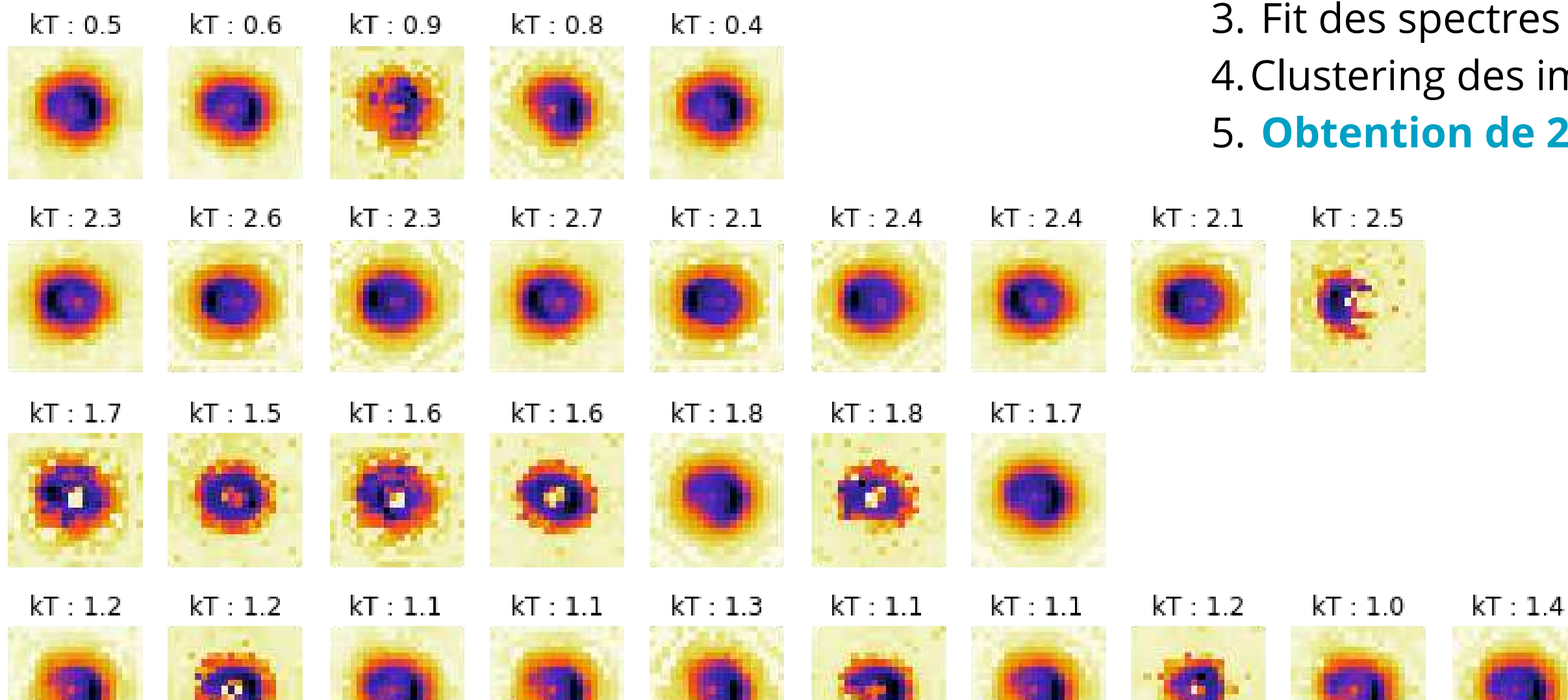
#### • Stage:

- o Isoler l'origine spatiale de cette composante dure
- Evaluer la stabilité des résultats

#### Protocole:

- 1. Générer cube de données
- 2. Appliquer pGMCA avec différents paramètres
- 3. Fit des spectres avec modèle thermique
- 4. Clustering des images et spectres obtenus
- 5. Obtention de 2 à 4 composantes différentes

kT:1.2



#### Interprétations et limites :

- 1. Pas de composante centrale (PWN)
- 2. Chandra peu sensible à hautes énergies ?
- 3. Difficultés de contraindre les spectres dans GMCA

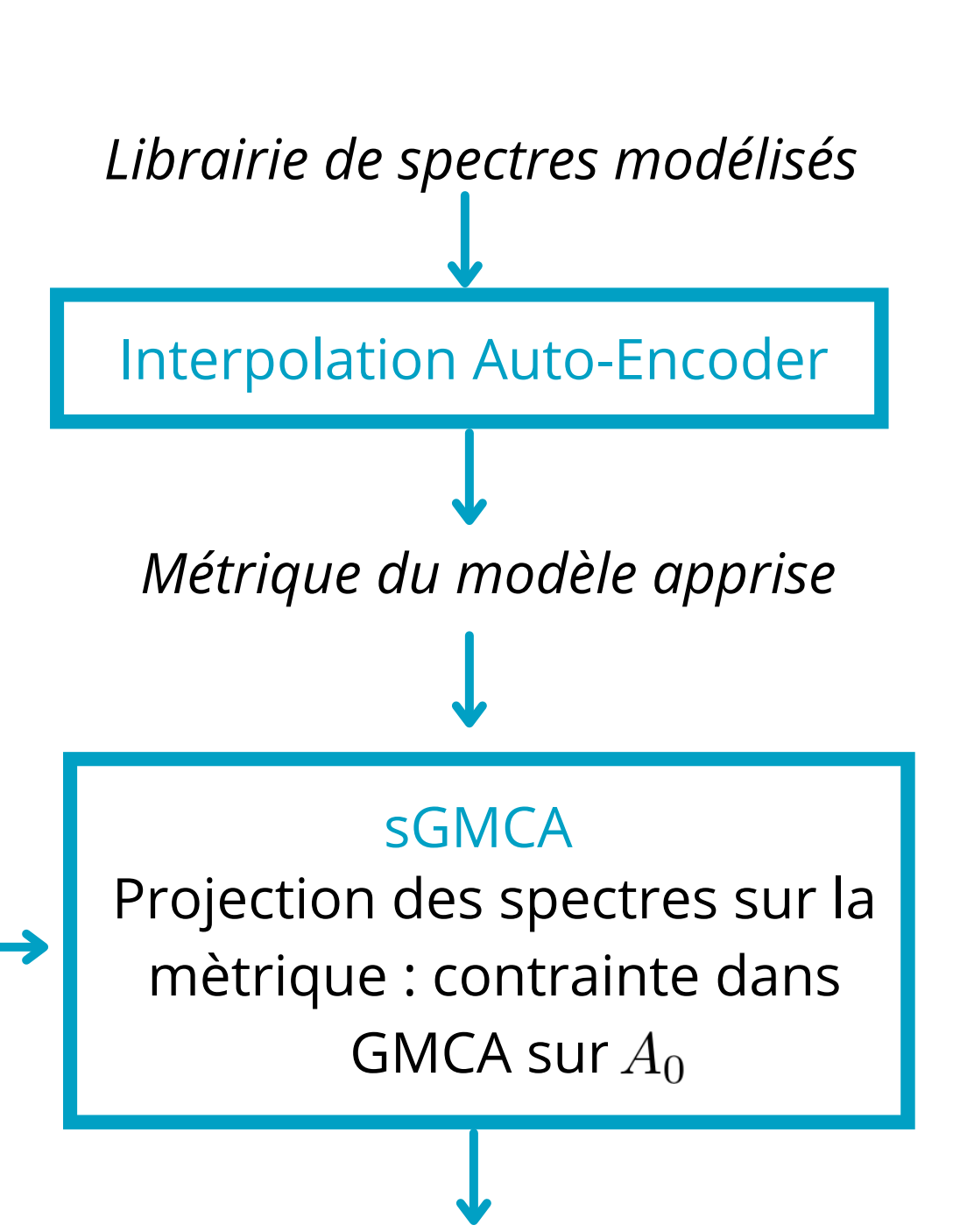
#### Objectifs

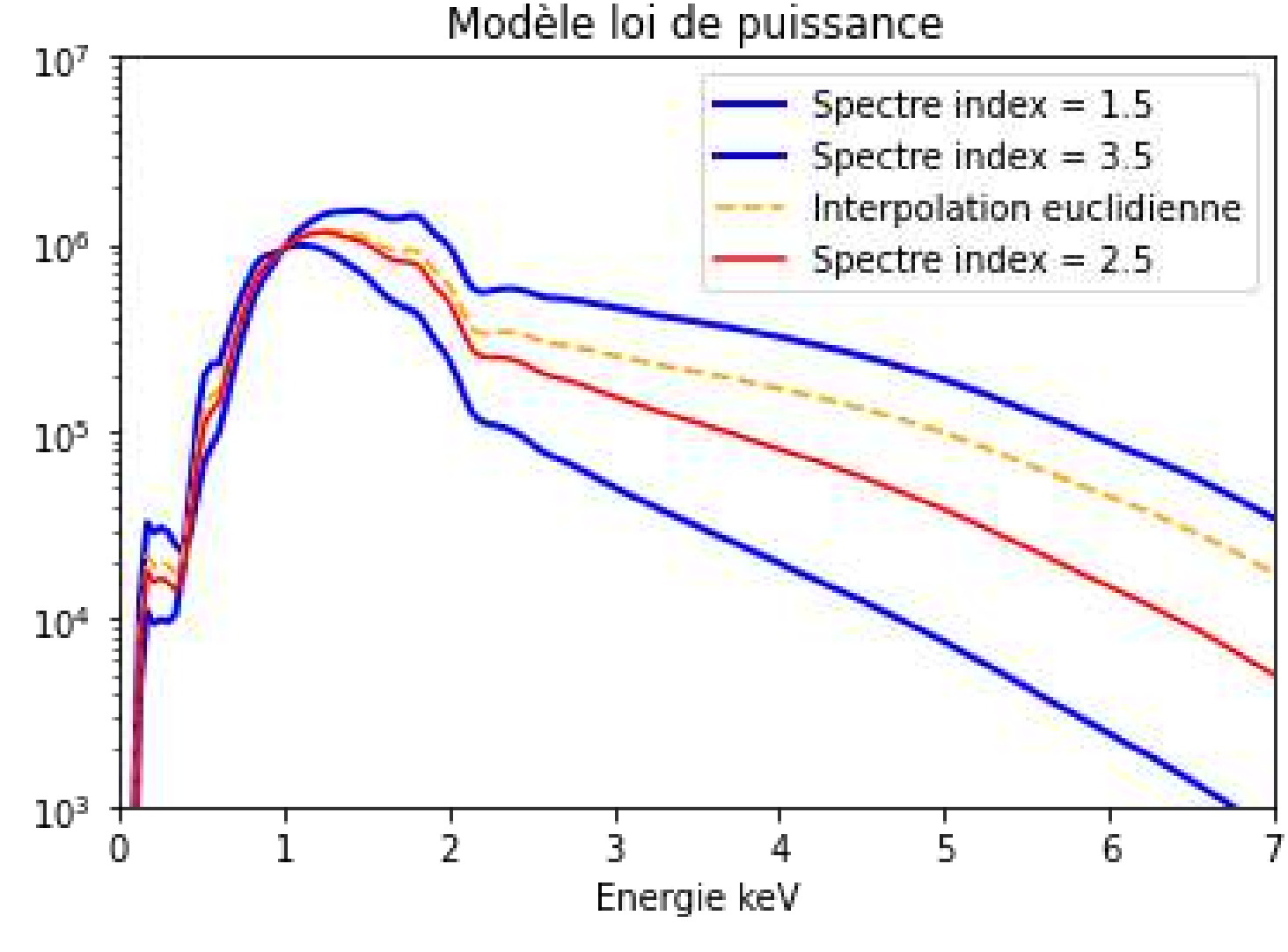
- Sens physique pour les composantes trouvées
- Réduire les contaminations entre composantes
- Meilleure sensibilité pour les composantes faibles

Nombre de composante et type de contrainte spectrale (ex : loi de puissance sur composante 0)

Expertise Machine Learning: Collaboration avec Jerome Bobin et Rémi Carloni

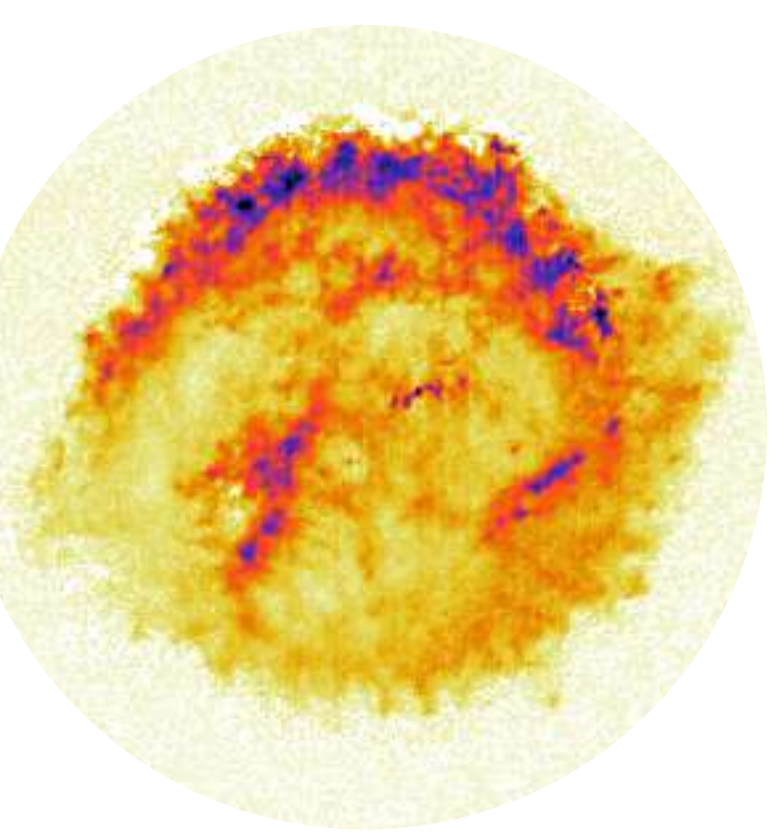
## Perspectives Supervised GMCA (sGMCA)





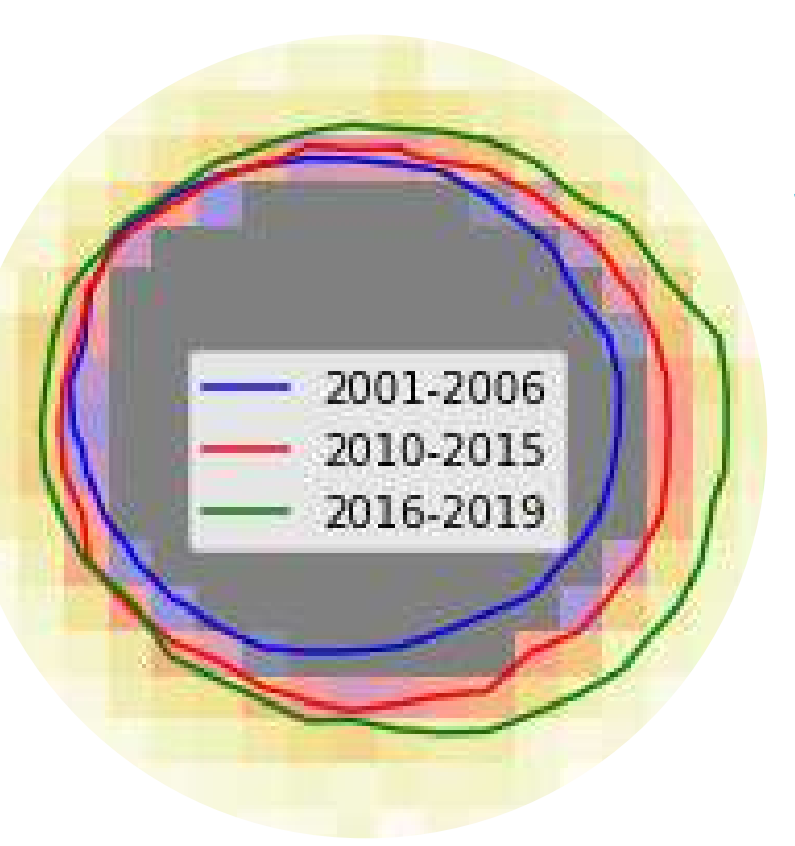
$$X = A_0 * S_0 + A_1 * S_2 + A_3 * S_3 + \dots$$

## Perspectives Supervised GMCA (sGMCA)



#### **SNR** Kepler

- Mieux isoler l'émission synchrotron pour mesure vitesse du choc principal.
- étude de la "surface" des éjectas et des instabilités de Rayleig Taylor.



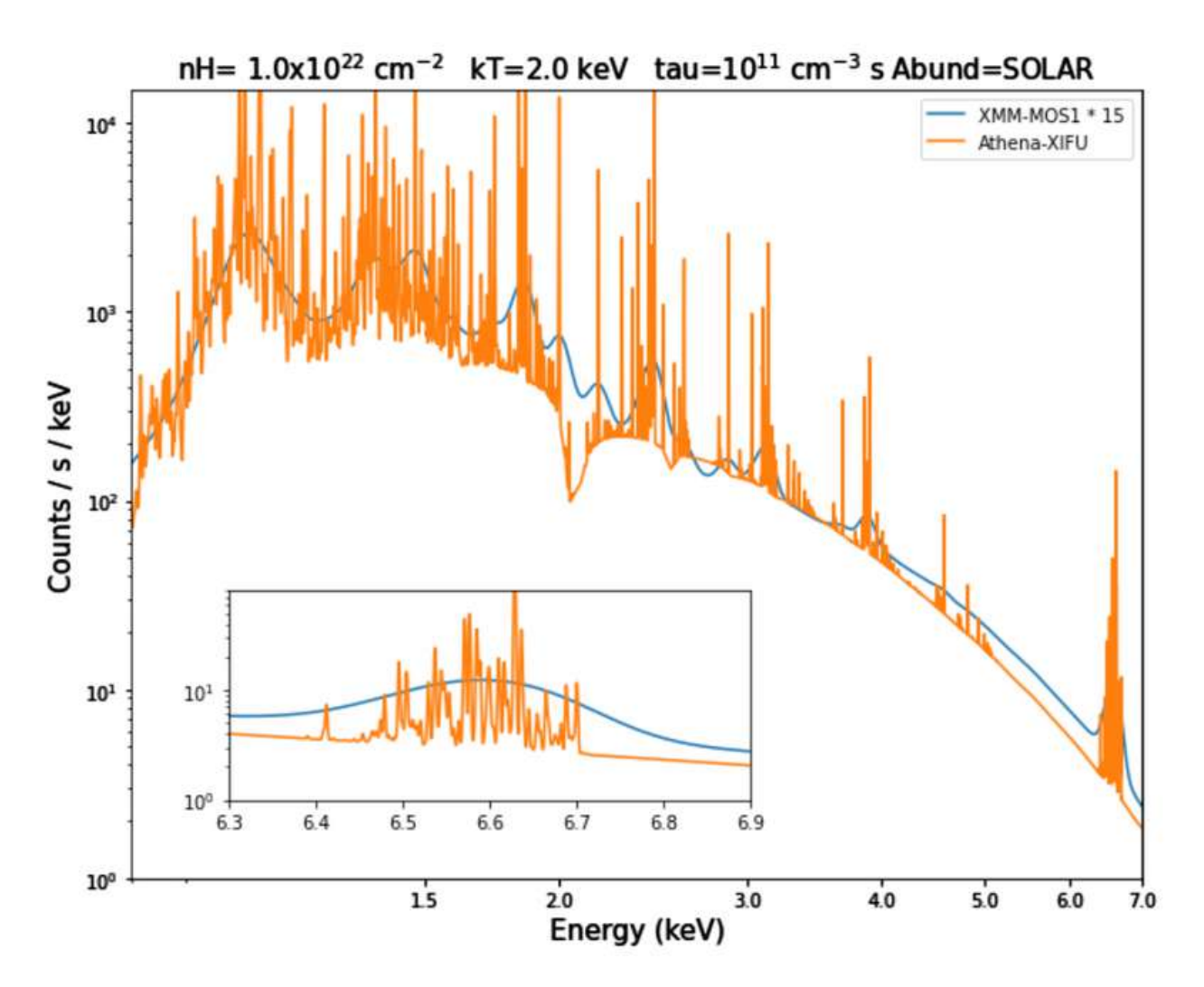
#### **SN87A**

- Palier le manque de données pour une meilleure séparation.
- étude de la dynamique du rémanents avec les contours.

#### LA FUTURE MISSION ATHENA XIFU

- Adaptation de sGMCA pour XIFU.
- Toy model avec simulations numériques.

Objectif: Vitesses 3D avec effet Doppler et vitesses dans le plan



#### MÉTHODE D'ANALYSE INNOVANTE

- Exploite pleinement la nature 3D des données contrairement aux méthodes traditionnelles.
- Séparation de composantes à l'aveugle.

## APPORT AUX GRANDES THÉMATIQUES DU DOMAINE

- 20 ans d'archive à revisiter et bientôt de nouvelles données
- Etude de l'accélération des rayons cosmiques et des progéniteur des supernovae.

#### **sGMCA**

- Ajout d'a priori physique sur les spectres
- Meilleures séparations des composantes

#### GÉNÉRALISATION DE LA MÉTHODE

- JWST et MUSE : pluridisciplinaire
- SPHERE: détection d'exoplanètes
- CRISM : observation de la surface de Mars

## Conclusion

Objectif du stage :
Prouver le potentiel scientifque
de la nouvelle méthode
d'analyse des données GMCA



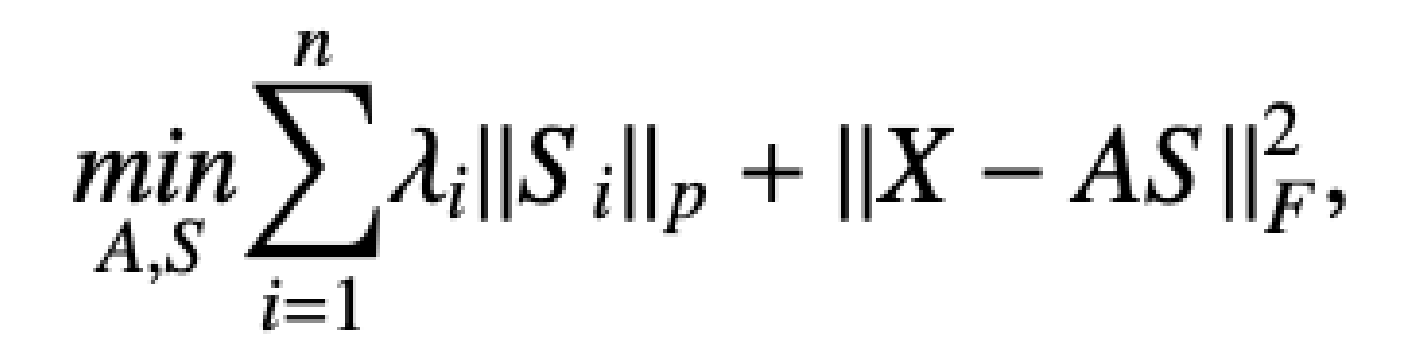
Algorithme GMCA

Décomposition linéaire du cube X en somme de spectres et images :

$$X = AS + N = \sum_{i=1}^{n} A_i S_i + N,$$



Problème de minimisation

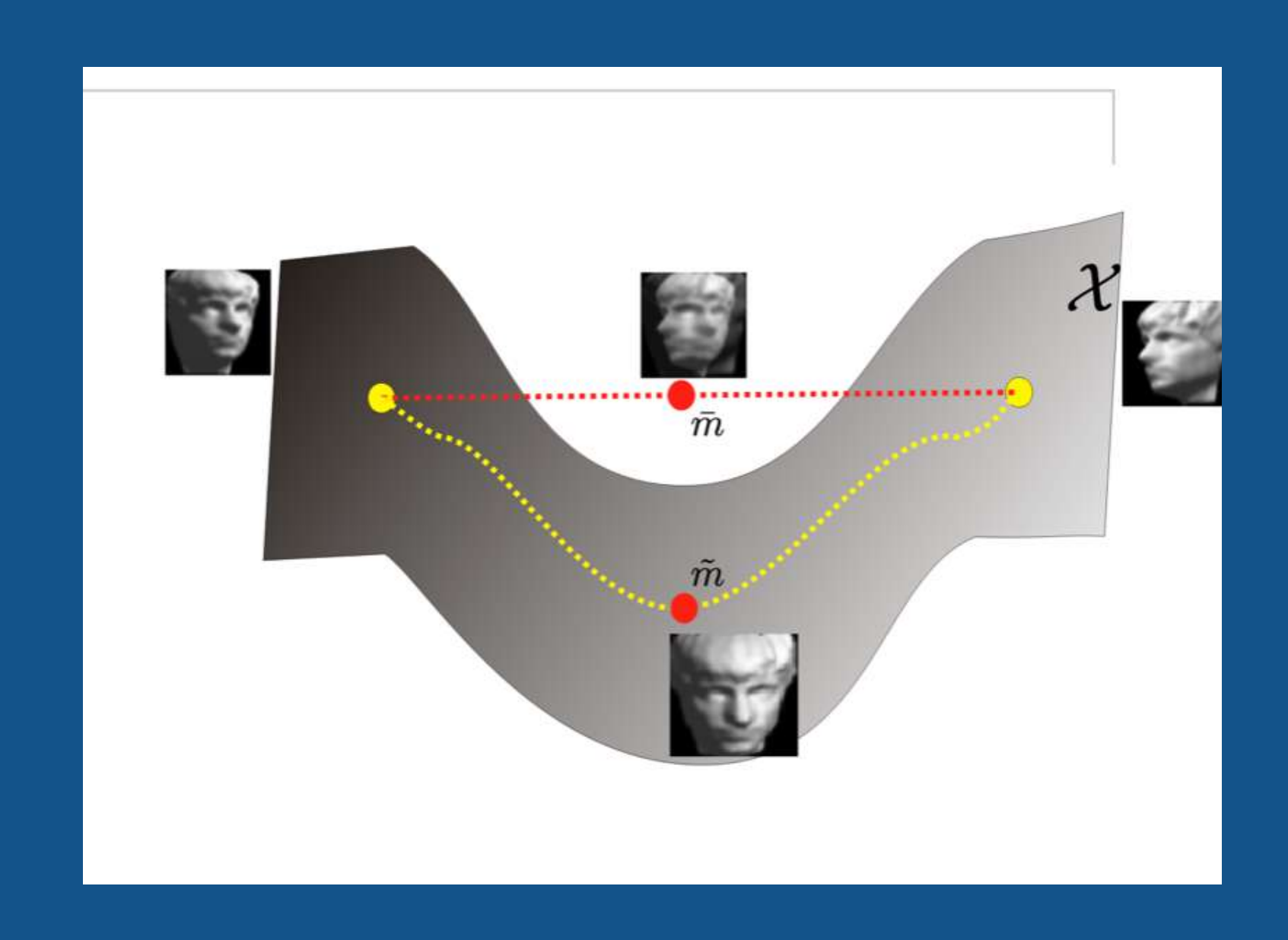


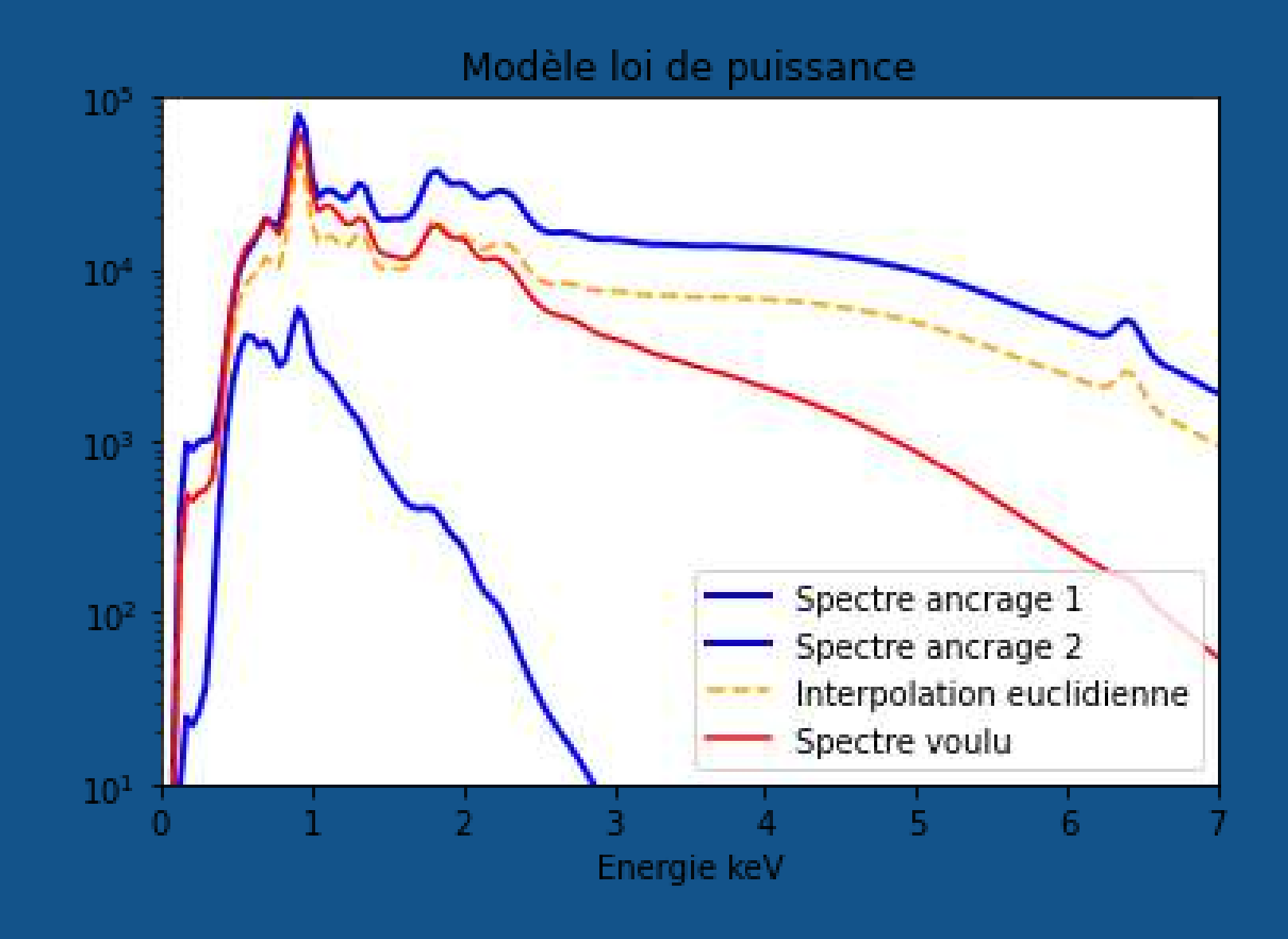
#### Algorithme itératif

More precisely, the GMCA is an iterative algorithm repeating the following two steps:

- Step 1: Estimation of S for fixed A, by simultaneously minimizing  $||X AS||_F$  and the term enforcing sparsity in the Wavelet domain;
- Step 2: Estimation of A for fixed S by minimizing  $||X-AS||_F$ .

#### Metric Learning

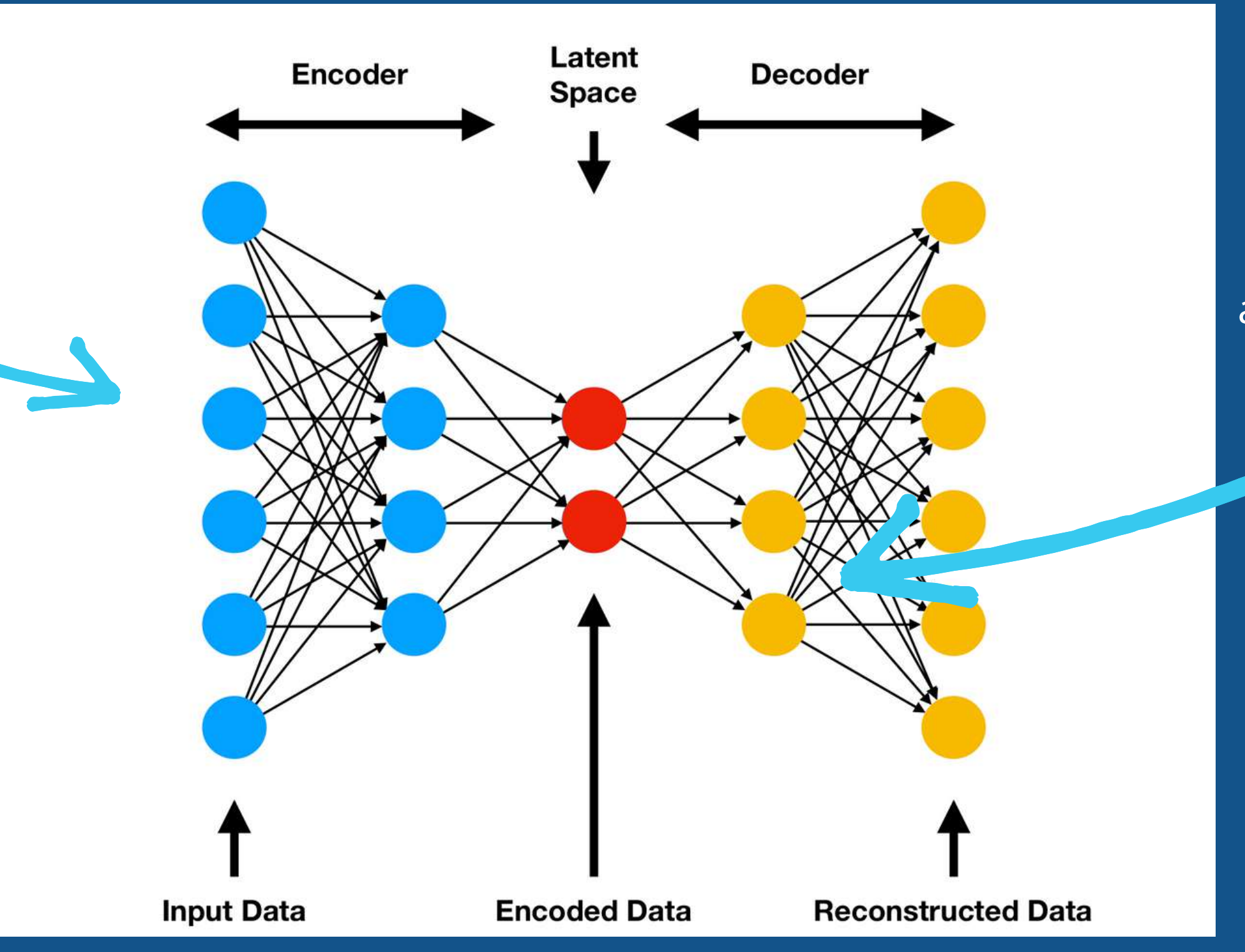




IAE

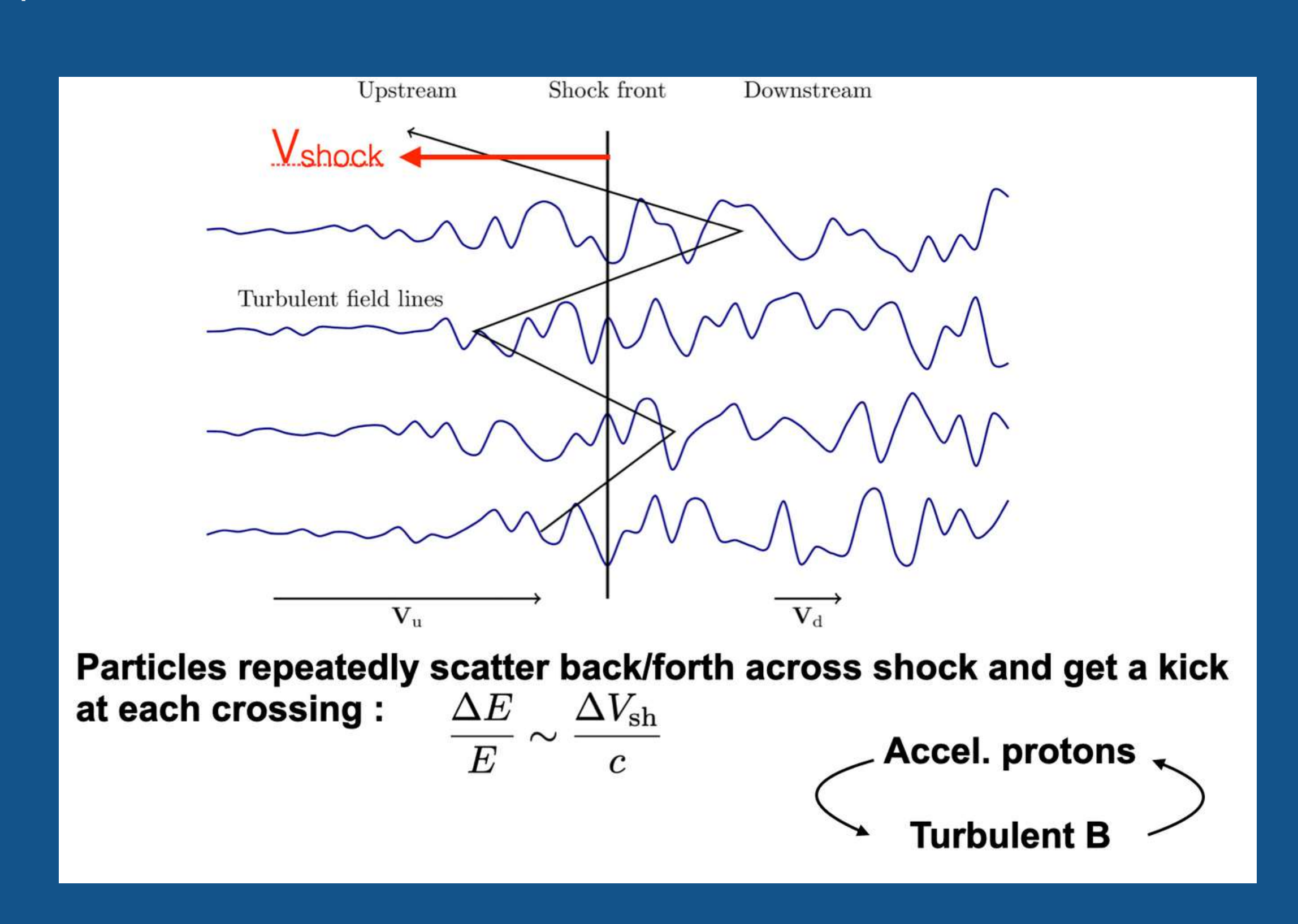
Espace transformé où l'on réalise les interpolations + réduction de dimensionalité

Espace réel des spectres : projection pas possible durant GMCA



Réseaux de neurones : apprentissage des matrices de poids et de biais pour l'encodeur et décodeur

#### Accélération des particules au shock



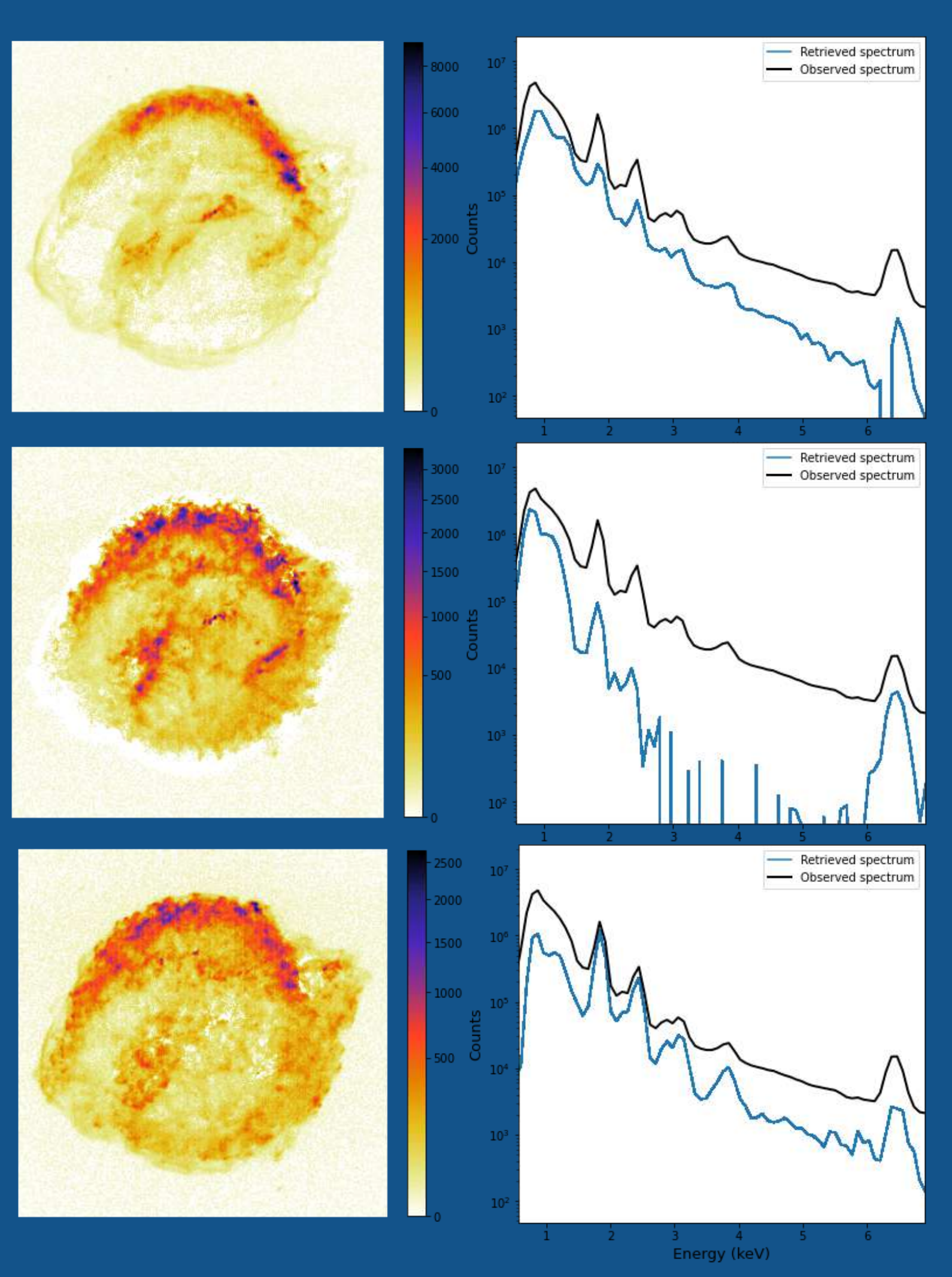
#### Valeurs composantes thermiques de SN87a

Table 6. Comparison with Previously Fitted Thermal Model Temperatures							
Date	Epoch	Model	Energy range	$k_{\rm B}T_1{}^a$	$k_{\rm B}T_2{}^a$	$k_{\rm B}T_3{}^a$	Reference
(YYYY-mm-dd)	(d)		(keV)	(keV)	(keV)	(keV)	
2018-09-15	11,527	Two shocks	0.5 - 3	0.5		1.5	Bray et al. (2020)
2015-09-17	10,433	Two shocks	0.5 - 8	0.3		2.1	Frank et al. (2016)
2014-09-18	10,069	Two shocks	0.5 - 3	0.5		1.4	Bray et al. (2020)
2014-07-11	$\sim 10,000$	Three shocks	0.45 - 24	0.5	1	4	This paper
2014-07-11	$\sim 10,000$	Continuous	0.45 - 24	0.3	0.9	4.2	This paper
2011-03-03	8774	Three shocks	0.6 - 5	0.5	1.2	2.7	Dewey et al. (2012)
2009-01-30	8012	Two shocks	0.4 - 8	0.5		2.4	Sturm et al. (2010)
2007-09-10	7504	Two shocks	0.4 - 7	0.5		1.9	Zhekov et al. (2009)
2007-09-10	7504	Continuous	0.4 - 7	0.5		2.2	Zhekov et al. (2009)
2007-03-25	7335	Three shocks	0.6 - 5	0.5	1.2	4.3	Dewey et al. (2012)
2007-01-20	7271	Three shocks	0.3 - 8	0.3	1.7	2.7	Zhekov et al. (2010)
2007-01-17	7268	Two shocks	0.2 - 10	0.4	• • •	3.0	Heng et al. (2008)
2005-07-14	6716	Two shocks	0.3 - 8	0.3	• • •	2.3	Park et al. (2006)
2004-08-30	6398	Two shocks	0.4 - 7	0.5	• • •	2.7	Zhekov et al. (2006)
2004-08-30	6398	Continuous	0.4 - 7	0.5	• • •	3	Zhekov et al. (2006)
2003-05-10	5920	Two shocks	0.2 - 9	0.3		3.1	Haberl et al. (2006)
2000-12-07	5036	Two shocks	0.3 - 8	0.2	•••	3.2	Park et al. (2006)
2000-12-07	5036	Three shocks	0.3 - 8	0.2	2.9	5.1	Zhekov et al. (2010)
2000-12-07	5036	Three shocks	0.4 - 8.1	0.7	1.2	4.2	Dewey et al. (2012)
2000-01-20	4714	Two shocks	0.3 - 9	0.2		2.0	Haberl et al. (2006)

Note—Temperatures of individual shock components or approximate temperature peaks for the continuous temperature models.

<sup>&</sup>lt;sup>a</sup>The subscripts denote individual shock component temperatures or temperature distribution peaks. Models with only two characteristic temperatures lack the mid-temperature component.

GMCA: interprétations et limites



- CSM :
  - spectre : Mg et Ne
  - image : zone centrale et Nord-Ouest
- Synchrotron
  - spectre : power law
  - o image: filaments

#### Ejecta Fer:

- o spectre : raie Fe K et L
- image : structure moutonneuse

#### Autres éjecta (Si, S, Ar, Ca):

- spectre : raies
- image : structuremoutonneuse